

МИНИСТЕРСТВО ВЫСШЕГО И СРЕДНЕГО СПЕЦИАЛЬНОГО ОБРАЗОВАНИЯ СССР

ВСНПО "Союзвузприбор"

Специальное конструкторское бюро

Украинский филиал

OKN

СТЕНД УНИВЕРСАЛЬНЫЙ ДЛЯ ПРОВЕДЕНИЯ

ЛАБОРАТОРНЫХ РАБОТ ПО КУРСУ "СОПРОТИВЛЕНИЕ МАТЕРИАЛОВ"

ПАСПОРТ

СМУ 000.000 НС

1985

Фото: Фотография, Зак. № 5776 2 кн

1 НАЗНАЧЕНИЕ СТЕНДА

Универсальный стенд СМУ (далее - стенд) предназначен для проведения лабораторных работ по курсу "Сопротивление материалов" в высших технических учебных заведениях.

Стенд обеспечивает выполнение следующих лабораторных работ при
о наладках:

Наладка № 1.

Работа № 1. Испытание на кручение стального образца; определение модуля сдвига;

Работа № 2. Исследование напряженно деформированного состояния в стержне при кручении;

Работа № 3. Исследование плоского напряженного состояния методом геометрии

Наладка № 2.

Работа № 4. Исследование напряженно деформированного состояния в плоских рамках

Работа № 5. Экспериментальная проверка теоремы взаимности работ и принципа взаимности перемещений.

Наладка № 3.

Работа № 6. Испытание винтовой цилиндрической пружины растяжения.

Наладка № 4.

Работа № 7. Опытная проверка теории изгиба.

Наладка № 5.

Работа № 8. Определение перемещений в балке при изгибе

Работа № 9. Опытная проверка величины опорной реакции статически неопределенной балки.

		27-86	1972	18086	СМУ 000.000 ПС			
Изл. лист								
№ докум.								
Подп.								
Дата								
Разраб.	Кармазин	В.К.	2009	Стенд универсальный для про-		Лит.	Лист	Листы
Прек.	Муха	М.М.	2009	ведения лабораторных работ	01	1	2	66
Т. контр.				по курсу "Сопротивление ма-				
Зав. отл.	Муха	М.М.	2009	териалов"				
И. кантр.	Шамелашвили	Ю.	2009	КОСМ				

Министерство СССР
СКБ УФ

Наладка № 6
Работа № 10 - Испытание стержня на косой изгиб.
Наладка № 7
Работа № 11 - Испытание тонкостенного стержня открытого профиля на изгиб и кручение.

Наладка № 8
Работа № 12 - Исследование явления потери устойчивости сжатого стержня в упругой стадии (четыре варианта закрепления).
Работа № 13 - Исследование работы стержня при продольно-поперечном изгибе.

Стенд выпущен в климатическом исполнении УХЛ, категория размещения № 2 по ГОСТ 15150-69.

2. ТЕХНИЧЕСКИЕ ХАРАКТЕРИСТИКИ

2.1. Основные параметры и размеры.

2.1.1. Образец - ступенчатый стержень с поперечным сечением в виде тонкостенного кольца.

2.1.1.1. Материал ступеней стержня

первой - сплав 45 ГОСТ 1050-74

второй - сплав алюминиевый Д16Т ГОСТ 8617-81.

2.1.1.2. Размеры сечения, мм, первой ступени

наружный диаметр 20 - 0,033

внутренний диаметр 16 + 0,027

второй ступени

наружный диаметр 58 ± 0,05

внутренний диаметр 56 + 0,046

2.1.1.3. Длина испытуемого участка

первой ступени, мм 100 ± 0,3

2.1.2. Образец - рама П-образной формы прямоугольного сечения

2.1.2.1. Материал - сталь Ст.3 ГОСТ 380-71

2.1.2.2. Размеры образца, мм

ширина 605 ± 1,5

План	Лист	№ листа	Ряд	Подпись	Дата	СИУ 000,000 РС	Лист
		27-86	18028				3

высота $300 \pm 1,5$
ширина сечения $30 \pm 0,2$
высота сечения $5 \pm 0,03$

2.1.3. Образец - витые пружины растяжения

- 2.1.3.1. Материал - проволока П-4 ГОСТ 9389-75
проводка П-5 ГОСТ 9389-75
проводка П-6 ГОСТ 9389-75

2.1.3.2. Размеры, мм

средний диаметр $50 \pm 0,8$

2.1.4. Образец - балка двутаврового сечения

- 2.1.4.1. Материал - сплав алюминиевый Д16 ГОСТ 9617-81

2.1.4.2. Размеры образца, мм

высота $102 \pm 1,5$

ширина полки $38 \pm 0,7$

толщина стенки и полок,

не более $2 \pm 0,5$

длина участка образца от

одной шарнирной опоры до точки приложения $300 \pm 1,0$
нагрузки, слева и справа

2.1.5. Образец - балка прямоугольного сечения

- 2.1.5.1. Материал - сталь 65 Г-Ш ГОСТ 1542-71

2.1.5.2. Размеры образца, мм

ширина сечения $30 \pm 0,2$

высота сечения $4 \pm 0,03$

2.1.6. Образец - консольная балка прямоугольного сечения

- 2.1.6.1. Материал - сталь 45 ГОСТ 1050-74

2.1.6.2. Размеры образца, мм

ширина сечения $24 \pm 0,13$

толщина сечения $12 \pm 0,11$

длина участка образца

от места заделки до линии приложения

нагрузки 700 ± 1

27-86	РС	130286	СМУ 600.000 НС
шт	шт	шт	шт

2.1.7. Образец - консольная балка, сечение - швеллер

2.1.7.1. Материал - сталь 45 ГОСТ 1050-74

2.1.7.2. Размеры образца, мм

высота	$31,5 \pm 0,1$
ширина полки	$20,75 \pm 0,1$
толщина стенки	$1,5 \pm 0,1$
толщина полок	$1,5 \pm 0,1$

длина участка образца от места заделки

700 ± 1

профиля до линии приложения нагрузки

2.1.8. Образец - балка прямоугольного сечения

2.1.8.1. Материал - сталь 65-Ш ГОСТ 1542-71

2.1.8.2. Размеры образца, мм

высота сечения	$35 \pm 0,2$
ширина сечения	$2 - 0,014$
	$2,5 - 0,014$

длина участка образца между осями

$500 \pm 0,2$

шарирных опор

2.1.9. Габаритные размеры стендов, мм, не более

длина	2150
ширина	1300
высота	1300

2.1.10. Высота стойка, мм, не более

860

2.1.11. Масса, кг, не более

400

1	27-86	1985 год	СМУ 000.000 ПС	Лист 5
Печ. Лист	№ документа	Название Дата		
Изображение Экс. № 117 об				
Копировано				

3. СОСТАВ УСТАНОВКИ И КОМПЛЕКТ ПОСТАВКИ.

3.1. Комплект поставки приведен в таблице I.

Таблица I

№: Обозначение документа	Наименование	Код-№	Примечание	
1	2	3	4	5
1. СМУ.000.000	Стенд универсальный для про- веденія лабораторных работ по курсу "Сопротивление ма- териалов"			I

Комплекты	
Сборочная единица	
2. СМУ.090.000	Нгут
3. СМУ.091.000	Нгут
4. СМУ.110.000	Образец
5. СМУ.120.000	Стойка
6. СМУ.130.000	Рычаг
7. СМУ.140.000	Крок
8. СМУ.230.000	Образец в сборе
9. СМУ.232.000	Спора
10. СМУ.230.000	Стойка
11. СМУ.240.000	Кронштейн
12. СМУ.250.000	Грузы в сборе
13. СМУ.310.000	Пружинный образец
14.	-01 Пружинный образец
15.	-02 Пружинный образец
16. СМУ.320.000	Указатель
17. СМУ.330.000	Кронштейн
18. СМУ.410.000	Образец в сборе
19. СМУ.420.000	Стойка

СМУ.000.000 ПС

Лист № даты

страница

комплекта

Продолжение табл. I

1	2	3	4	5
20.	СМУ 430.000	Коромысла	1	
21.	СМУ 510.000	Стойка	2	
22.	СМУ 520.000	Держатель индикатора в сборе	3	
23.	СМУ 530.000	Образец	1	
24.	СМУ 540.000	Опора	1	
25.	СМУ 550.000	Крюк	1	
26.	СМУ 610.000	Образец в сборе	1	
27.	СМУ 620.000	Кронштейн	1	
28.	СМУ 630.000	Стойка	1	
29.	СМУ 640.000	Ключ	1	
30.	СМУ 710.000	Образец в сборе	1	
31.	СМУ 810.000	Образец в сборе	1	
32.	СМУ 813.000	Образец в сборе	1	
33.	СМУ 820.000	Стойка	1	
34.	СМУ 830.000	Груз	1	
		<u>Детали</u>		
35.	СМУ 910.001	Груз	4	
36.	СМУ 910.003	Груз	6	
37.	СМУ 910.005	Болт закладной	12	
38.	СМУ 910.006	Серьга	2	
39.	СМУ 910.007	Груз	2	
40.	СМУ 910.008	Коврик резиновый	1	
		<u>Стандартные изделия</u>		
41.	ГОСТ 5927-70	Гайка М10.4	12	
42.	ГОСТ 11371-78	Шайба 10.00.05	12	
43.	ГОСТ 577-68	Индикатор часового типа с ценой деления 0,01 мм	3	

27-86	Б/К № 18.0286	СМУ 000.000 ИС	Лист 7
от	№ документа	Подпись	
Печать			

Продолжение табл. 1

1	2	3	4	5
44	ГОСТ 9696-82	Индикатор часового типа 1 МИГ с ценой деления 0,001 мм 2		

Прочие изделия

45	ТУ 25-06-1382-78	Тензорезистор 2ПКН-10-100	9 кг	шт
----	------------------	---------------------------	------	----

46	СМУ 000.000 ПС	Паспорт "Стенд универсальный для проведения лабораторных работ по курсу "Сопротивление материалов" 1 экз.		
----	----------------	---	--	--

2	33-86	600	7778	СМУ 000.000 ПС
	27-86	Окн	18.02.86	
	пост № 16 земли	Печать	Дата	

4. УСТРОЙСТВО И ПОРЯДОК ПОДГОТОВКИ СТЕНДА К РАБОТЕ.

4.1. Конструкция стендов (РИС.1)

Универсальный стенд представляет собой лабораторный стол с набором функциональных элементов (образцов, вспомогательных устройств, деталей и крепежных изделий), хранимых в 4-х пеналах (рис. 2,3,4,5) и устанавливаемых на столе при проведении той или другой лабораторной работы.

Стол состоит из сварного каркаса 1. Для организации дополнительных рабочих мест студентов он имеет на петлях две откидные столешницы 2 и 3.

Кронштейны 4 столешниц в поднятом состоянии фиксируются относительно стола стендов фиксаторами 5. В опущенном состоянии столешница кронштейн убирается и фиксируется относительно каркаса столешницы фиксаторами. Стол снаружи оббит плитами 6,7,8,9 с декоративным покрытием.

Правая дверь стола 10 имеет замок 11 типа лекодын. Левая дверь 12, при закрытых дверях, фиксируется фиксатором 13 за ухо 14 каркаса стола.

Двери 10 и 12 откидываются на угол 90° . Для удобства обслуживания каркас стола 1 и двери 10 и 12 имеют направляющие 15 и 16, по которым при открытии на 90° дверях выкатывает на роликах пеналы до упоров. При установке в лаборатории стенд выставляется по уровню домкратами 30.

Для предохранения стендов от опрокидывания при выдвинутых пеналах на дверях стола стендов предусмотрена опора 18.

С боковой стороны стенд оборудован панелью 19 с розетками на 12 В постоянного тока и 220 В переменного тока, частотой 50 Гц.

Подключение поводка к источникам питания осуществляется металлическим с клеммной коробкой 30. Расположение проводки должно быть предусмотрено под полом лаборатории.

1	27-56	М.Ю.ВОЗМ	СМУ 100.000.00	Лист 2
1000	1000	1000	1000	1000

Для выполнения работ по наладкам № 1, № 2, № 4, № 5, № 6, № 7 к розетке на 12 В подключается вилка кабута 2 (рис.6), другой конец которого подсоединяется к измерителю деформации типа ИДЦ-1 поз. I (рис.6).

Измеритель деформаций типа ИДЦ-1 поз. I (рис.6) при проведении лабораторных работ устанавливается на свободной поверхности стола. Измеритель деформаций подключается вилка кабута 3 (рис.6), другой конец которого подсоединяется к розетке образца.

Кабуты и измеритель деформации могут храниться в пенале (рис.2).

Для закрепления наладок на плите стола стендаС служит ключ (пенал № 4, рис.5).

К розетке на 220 В подключается микрокалькулятор типа БЗ-36 для проведения расчётов.

Примечание. Измеритель деформаций типа ИДЦ-1 и микрокалькулятор типа БЗ-36 в комплект поставки не входят.

Ниже следующее описание наладок определяет исходное состояние стендаС, подготовленного к проведению на нём лабораторной работы.

4.2. Наладка № 1 (рис.7).

На плите стендаС 1 устанавливаются две опорные стойки 2 (наладка № 4, рис.5) и 3 (наладка № 2, рис.3).

Стойки крепятся к плите болтовыми соединениями: болт 4, шайба 5, шайба 6 (наладка № 1, рис.2). Болты 4 заводятся в Т-образный выступ плиты 1. Правая опорная стойка 2 выполнена в виде опоры типа "защёлка" или типа "неподвижный шарнир".

Образец (трубчатый стержень) 7 (наладка № 2, рис.3) жёстко крепится с опорной стойкой 2 по конической поверхности стержня образца и фиксируется в стойке невыпадающим винтом 8. Образец 7 имеет в зацепление с которым входит фланец 9.

для фиксации втулки 10 относительно опорной стойки 2 предусмотрены рукавичка 11 и фиксатор 12. Шарнирное опирание образца 7 на

СМУ 000.000.110

левую опорную стойку 3 создаётся шарикоподшипником 31.

Нагружение четырьмя грузами 23 (по 5 кг каждый) (пенал № 1, рис.2) осуществляется с помощью подвески 19 (пенал № 2, рис.3), установленной на рычаге 16 (пенал № 2, рис.3) в крайнем левом сечении образца.

Для фиксации рычага 16 от выпадания служит винт 17 с шайбой 18. Рычаг 16 служит для нагружения образца 7 крутящим моментом.

Для работы № 1 создаётся шарнирное опирание крайнего левого сечения на левую опорную стойку 3 с регулировкой по высоте опорной площадкой 19 (пенал № 2, рис.2), которая фиксируется винтом 20. На тонкую часть образца устанавливается угломер С.В.Бояршикова 21 с индикатором часового типа 13 (пенал № 1, рис.2).

Для работы № 2 обеспечивается шарнирное опирание крайнего левого сечения.

Для работы № 3 опорную площадку 19 необходимо опустить вниз до контакта с поверхностью левой опорной стойки 3.

4.3. Навадка № 2.

Для работы № 4 (рис.8) на плате стенда I устанавливается: образец в сборе 8 (пенал № 2, рис.3), опора 9 (пенал № 2, рис.3), плита 10 (пенал № 2, рис.3), индикаторная стойка 11 (пенал № 3, рис.4), которые крепятся к плате болтовыми соединениями (болт 4, гайка 5, шайба 6), пенал № 1, рис.2. На индикаторную стойку 11 устанавливается индикатор часового типа 13 (пенал № 1, рис.2). Образец 8 левой частью шарикоподшипниками устанавливается на плиту 10.

В опору 9 вворачивается груз в сборе 26 (пенал № 2, рис.3).

На плате 10 устанавливается индикатор часового типа 13 (пенал № 1, рис.2). Стяжкой 24 (пенал № 2, рис.3) соединяют образец в сборе 8 с коромыслом опоры 9.

На образец 8 одевают две серьги 25 (пенал № 1, рис.2), две подвески 15 (пенал № 2, рис.3) с двумя грузами 14 (пенал № 1, рис.2) по 1 кг каждый.

Для работы № 5 (рис.9) на плите стенда I устанавливаются образец в сборе 8 (пенал № 2, рис.3), плита 10 (пенал № 2, рис.3), индикаторная стойка II (пенал № 3, рис.4), которые крепятся к плате болтовыми соединениями [(болт 4, гайка 5, шайба 6) пенал № 1, рис.2].

На индикаторную стойку II устанавливается индикатор часового типа 13 (пенал № 1, рис.2). Образец 8 левой частью шарикоподшипниками устанавливается на плите 10. В ось опоры образца вворачивается груз в сборе 26 (пенал № 2, рис.3). Посредине образца 8 устанавливается серьга 25 (пенал № 1, рис.2) с подвеской 15 (пенал № 2, рис.3) с двумя грузами 14 (пенал № 1, рис.2) по 1 кг каждый.

4.4. Нападка № 3 (рис.10).

Для работы № 6 на плате I стенда устанавливается при помощи болтовых соединений [(болт 4, гайка 5, шайба 6) пенал № 1, рис.2] опорная стойка 3 (пенал № 2, рис.3), индикаторная стойка II (пенал № 3, рис.4). На опорную стойку 3 устанавливается кронштейн 2 (пенал № 2, рис.3), на который устанавливается пружинный образец 4 (пенал № 2, рис.3). На индикаторную стойку II устанавливается держатель индикатора 12. Для исследования пружины № 4 и № 5 в держателе индикатора 12 устанавливается указатель 17 (пенал № 2, рис.3).

Для исследования пружины № 6 в держателе индикатора 12 устанавливается индикатор часового типа 13 (пенал № 1, рис.2). Изменение длины пружины при её растяжении определяется по смещению нижнего торца.

4.5. Нападка № 4 (рис.11). *Очистка образца теория изгиба*

Для работы № 7 на плате I стенда при помощи болтовых соединений [(болт 4, гайка 5, шайба 6) пенал № 1, рис.2] устанавливается образец 2 (пенал № 3, рис.4), стойка 3 (пенал № 3, рис.4). На образец устанавливается коромысло 4 (пенал № 3, рис.4) с индикатором часового типа 13 (пенал № 1, рис.2).

Нагружение образца производится винтом 7. Установленный на основной поверхности стола стенда измеритель деформаций типа ИД-1

27-56	И. П. Дата	СМУ 000.000 ИС
пенал № 2	Печать	Л

стр 3-УФСКЕО

последовательно подключается к розетке 8 группы тензорезисторов, расположенных в среднем сечении в зоне чистого изгиба образца и к розетке 9 группы тензорезисторов, расположенных в зоне по перечного изгиба образца.

4.6. Наладка № 5.

Для работы № 8 (рис.12) на плате I стенд устанавливается две опорные стойки 2 (пенал № 4, рис.5) и 3 (пенал № 2, рис.3) и три индикаторные стойки II (пенал № 3, рис.4), которые крепятся к плате болтовыми соединениями [болт 4, гайка 5, шайба 6] пенал № 1, рис.2]. Образец 7 (пенал № 3, рис.4), закреплённый в головке с коническим хвостовиком, устанавливается в опорной стойке 2 и фиксируется навившим винтом 8. Фланец 9 входит в паз хвостовика.

Для фиксации втулки 10 относительно опорной стойки 2 предусмотрены рукоятка 21 и фиксатор 18.

На опорную стойку 3 устанавливается опора 19 (пенал № 3, рис.4) на которой создаётся шарикоподшипниками 17 шарнирное опирание образца. На индикаторные стойки II с установленными на них держателями индикаторов 12 устанавливаются индикаторы часового типа 13 (пенал № 1, рис.2). Серьга 25 (пенал № 1, рис.2) с подвеской 15 (пенал № 2, рис.3) устанавливается на определённом расстоянии между шарнирными опорами. На подвеску 15 устанавливаются 4 груза 14 (пенал № 1, рис.2) по 1 кг каждый. С помощью индикаторов определяются прогибы и углы поворота в опорах.

Для работы № 9 (рис.13).

Описание работы (см. работу № 8). Дополнительно, для проведения работы, в крайнем левом сечении устанавливается вторая серьга 25 (пенал № 1, рис.2) с подвеской 15 (пенал № 2, рис.3). На подвеску 15 устанавливаются 4 груза 14 (пенал № 1, рис.2) по 1 кг каждый.

Основная нагрузка на образец прикладывается в крайнем левом сечении. Индикаторы, установленные на двух крайних индикаторных стойках II, выводятся из контакта с образцом 7. Устанавливается опора 9 (пенал № 2, рис.9), которая крепится к плате болтовыми соединениями

_____	_____	_____	_____
_____	_____	_____	_____

СМУ 000.000 ИГ

Лист

/3

болт 4, гайка 5, шайба 6). В опору 9 ввинчивается груз в сборе 26 (пенал № 2, рис.3). В среднем сечении к серье 25 подвешивается крюк 16 (пенал № 3, рис.4), другой конец которого одет на штифт опоры 9. В этом сечении измеряется соответствующий прогиб. Сила создаётся нагрузочным приспособлением, винтом регулируя плечо грузов 26.

4.7. Наладка № 6 (рис.14).

Для работы № 10 на плате I стенд установливается опорная стойка 2 (пенал № 4, рис.5) и индикаторная стойка II (пенал № 3, рис.4), которые крепятся к плате болтовыми соединениями [болт 4, гайка 5, шайба 6] (пенал № 1, рис.2). Образец 7 (пенал № 4, рис.5) жёстко закрепляется в опорной стойке 2 по конической поверхности хвостовика образца и фиксируется в стойке невидимым винтом 8.

Образец 7 имеет паз, в зацепление с которым входит фланец 9.

Для фиксации втулки 10 относительно опорной стойки 2 предусмотрены рукоятка 16 и фиксатор 12. Главные оси поперечного сечения образца устанавливаются по отношению к вертикальной под определённым, на пред заданным углом.

В крайнем левом сечении образца 7 к серье 25 (пенал № 1, рис.3) подвешивается подвеска 15 (пенал № 2, рис.3) с пятью грузами 14 (пенал № 1, рис.2) по 1 кг каждый.

На индикаторной стойке II устанавливается кронштейн 26 (пенал № 4, рис.5) с двумя индикаторами часового типа 13 (пенал № 2, рис.2). Задача определяется перемещение свободного конца балки и напряжение опасной угловой точке контрольного сечения.

4.8. Наладка № 7 (рис.15).

Для работы № 11 на плате I стенд устанавливается опорная стойка 2 (пенал № 4, рис.5) и две индикаторные стойки II (пенал № 3) (рис.4), которые крепятся к плате болтовыми соединениями [болт 4, гайка 5, шайба 6] (пенал № 1, рис.2).

Образец 8 (пенал № 4, рис.5) жёстко закрепляется в опорной стойке 2 по конической поверхности стержня образца и фиксируется в стойке

невыпадающим винтом 9.

Образец 8 имеет паз, в зацепление с которым входит фланец 10.

Для фиксации втулки 16 относительно опорной стойки 2 предусмотрена рукоятка 17 и фиксатор 18. К серьеge 19 подвешивается подвеска 15 (пенал № 2, рис.3) с шестью грузами 14 (пенал № 1, рис.2) по 1 кг каждый.

На индикаторных стойках II устанавливается держатели индикаторов 12 (пенал № 1, рис.2), с индикаторами часового типа 13 (пенал № 1, рис.2). Для устранения крученя образца точку приложения силы смешают вдоль горизонтали. Положение центра изгиба определяется по миллиметровой шкале 20 при одинаковых показателях индикаторов. Тензорезисторы позволяют определить деформации в контрольном сечении.

4.9. Надладка № 8 (рис.16, 17, 18).

На плите стенде I устанавливаются опорные стойки 2 (пенал № 4, рис.5) и 3 (пенал № 2, рис.3), индикаторная стойка II (пенал № 3, рис.4) и стойка 20 (пенал № 4, рис.5).

Образец 9 (пенал № 4, рис.5) закрепляется на вращающихся осях в головках, которые установлены в стойках (2 и 3). Правая головка своим конусным хвостовиком крепится в стойке 2 невыпадающим винтом 7, а левая головка цилиндрическим хвостовиком может перемещаться вручную маховиком 18.

Образец 9 в конусном хвостовике имеет паз, в зацепление с которым входит фланец 8.

Для фиксации втулки 10 относительно опорной стойки предусмотрены рукоятка 14 и фиксатор 16.

На индикаторную стойку II устанавливается индикатор часового типа 13 (пенал № 1, рис.2).

На правой и левой головках устанавливаются индикаторы часового типа 20 с ценой деления 0,001 мм (пенал № 1, рис.2). Концы стержня образца 9 могут защемляться винтами 21.

При выполнении задачи № 12 (рис.16) используется образец в сборе с пластиной толщиной 2 мм.

1	27-86	652	70/56	СМУ 000.000 ПС	Лист
Ном. Инв.	№ документа	Полись	Дата		15

Индикаторная стойка II с индикатором часового типа устанавливается в среднем сечении образца. Момент потери устойчивости определяется по показаниям индикаторов, регистрирующих относительные смещения концов стрекия и его прогибания. Нагрузка при этом оставляет неизменной, несмотря на продолжавшийся процесс нагружения. Движение стрелки индикатора 20 правой головки прекратится. Движение стрелки индикатора 20 левой головки будет продолжаться.

При выполнении задачи № 13 используется образец в сборе 35 с пластиной толщиной 2,5 мм (пенал № 1, рис.2).

В среднем сечении образец 9 дополнительно зажимается винтами.

Индикаторная стойка II переставляется и индикатор 13 фиксирует середину правого пролёта образца. При выполнении задачи № 14 используется образец в сборе с пластиной толщиной 2,5 мм (пенал № 1, рис.2). В среднем сечении образца 9 прикладывается дополнительная поперечная плита в виде груза 22 (пенал № 4, рис.5).

5. УКАЗАНИЕ МЕР БЕЗОПАСНОСТИ.

5.1. Перед монтажом и установкой стенда в лаборатории заказчик должен учсть нагрузку на пол и перекрытие, состоящую из массы стенда, группы студентов и другого оборудования, сравнив её с допустимой.

5.2. Лиц, неподготовленных к работе на стенде и незнакомых с настоящим паспортом, к работе не допускать.

5.3. Перед работой на стенде проверить:

наличие надёжного заземления. Электрическое сопротивление, измеренное между болтом заземления и любой металлической частью стендла, который может оказаться под напряжением в результате пробоя изоляций, не должно превышать 0,1 Ом.

Отсутствие оголённых проводов. На стенде работать только после установления обнаруженных дефектов.

5.4. При выдвижении пеналов проверить наличие на панорах предохранительных стоеч, а на направляющих - наличие упоров.

Лист № докум	27-86	Номер документа	МСУ 000.000.113	Лист
Подпись	Бондарев	Подпись	Бондарев	16

5.5. Набор функциональных элементов (образцов, вспомогательных устройств, деталей и крепёжных изделий) хранить в 4-х пеналах в строго определенных местах, согласно установленным на них табличкам.

5.6. Надолки устанавливать на плате стендса согласно рисункам и описание, освещённым в разделе 4 "Устройство и порядок подготовки стенда к работе", обратив особое внимание на надёжность крепления опорных, индикаторных стоек, опор, образцов.

5.7. Для предупреждения травматизма обратить особое внимание на укладку на подвески и снятие с них грузов.

5.8. Эксплуатацию стендса производить в соответствии с правилами техники безопасности, пожарной безопасности и производственной санитарии, действующими в учебном заведении, эксплуатирующего данный стенд.

5.9. Пожаробезопасность должна быть обеспечена путём соблюдения "Типовых правил пожарной безопасности для промышленных предприятий", утверждённых Главным управлением пожарной охраны МВД ССР от 21 августа 1975 года.

5.10. Освещённость рабочего места должна быть в соответствии со строительными нормами СНиП, П-А, 9-71.

6. ПОДГОТОВКА СТЕНДА К РАБОТЕ

6.1. Стенд поставляется заказчику в транспортировочном ящике. При распаковке проверить комплектность поставки по упаковочному листу.

6.2. При распаковке стендса необходимо освободить комплекты от проволоки, а пенопла - от каркаса стола.

6.3. При установке стенд должен быть выставлен по уровню.

6.4. При установке стенд к нему должно быть силами заказчика подведено напряжение на 12 В и 220 В. Напряжение в 220 В должно быть подведено от сети трёхфазного переменного тока.

6.5. Ознакомиться с конструкцией стендса по настоящему паспорту.

6.6. Лабораторную работу на стендсе производят по описание раздела 7 "Порядок проведения лабораторной работы".

2	N83-35 8/17/1285	СМУ ССР.000.НС
Изм. лист		

7. ПОРЯДОК ПРОВЕДЕНИЯ ЛАБОРАТОРНЫХ РАБОТ.

7.1. Тарировочные данные тензометрической системы.

Измеритель деформации типа ИД-1 (ИД) определяет приращение деформации, соответствующее ступени нагружения, в виде числа, равного разности отсчетов по цифровому табло ИД при различных уровнях нагрузки.

В случае, если по внешнему полумосту имеется один активный тензорезистор (нападки № 1, № 4, № 7) и коэффициент тензочувствительности тензорезисторов равен двум, то цена α_1 одной единицы дискретности системы равна

$$\alpha_1 = 10 \text{ ЕОД}$$

Основная погрешность измерения - 2 единицы дискретности.

При коэффициенте тензочувствительности тензорезисторов, не равном двум, цена α_1 единицы дискретности ИД определяется зависимостью

$$\alpha_1 = \frac{20}{K} \text{ ЕОД},$$

где К - коэффициент тензочувствительности используемых тензорезисторов. В случае же, если внешний полумост имеет два активных тензорезистора (нападки № 2 и № 6), то цена единицы дискретности ИД

$$\alpha_2 = \frac{\alpha_1}{2}$$

При использовании в работах тензорезисторов с неизвестным значением коэффициента тензочувствительности необходимо провести тарировку тензометрической системы, например, путем испытания консольной балки прямоугольного поперечного сечения при прямом изгибе (см. нападку № 6).

Составляя приращение деформации δ балки в точке, где введен тензорезистор, с разностью отсчетов Δ по цифровому табло ИД, получим следующую цену α'_2 единицы дискретности ИД.

$$\alpha'_2 = \frac{\delta}{\Delta}$$

СМЧСОО ОСОПС

7.2. Примерная методика проведения лабораторных работ.

Перед началом лабораторной работы стенд должен быть приведен в состояние в соответствии с описанием лабораторных работ в разд. 4. Студенты должны изучить соответствующие разделы курса сопротивления материалов.

Работа № 1. Исследование на кручение стального образца. Определение модуля сдвига (Нагрузка № 1).

Цель работы - экспериментальное определение модуля упругости материала при чистом сдвиге.

Порядок выполнения работы.

1. Нагрузить брус предварительной нагрузкой $P_0 = 20 \text{ Н.}$ ($M_0 = 9 \text{ Н.м.}$)
2. Сделать отсчёт по шкале угломера (индикатора).
3. Нагружать брус ступенями $\Delta P = 50 \text{ Н} (\Delta M_k = 22,5 \text{ Н.м.})$. После каждой ступени нагружения осуществлять отсчёты по шкале угломера. Нагружение закончить, осуществив 4 ступени нагружения.
4. Вычислить среднее арифметическое разность отсчётов по угломеру в соответствии с числом ступеней нагружения.
5. Вычислить угол закручивания, соответствующий ступени нагружения по формуле:

$$\Delta \varphi = \frac{\Delta h}{R}, \text{рад}$$

где Δh - среднее арифметическое разности отсчётов по шкале угломера, R - радиус вылета рячага угломера (мм);

6. Вычислить модуль сдвига по формуле:

$$G = \frac{\Delta M_{kp} \cdot l_c}{\Delta \varphi \cdot J_p}$$

дe J_p - полярный момент инерции

$$J_p = \frac{\pi D^3 \delta}{32}$$

Изм.	Лист	Сч	000.000 ПС
Изм.	Лист	Сч	000.000 ПС

D - средний диаметр кольцевого сечения

δ - толщина стенки.

7. Полученный модуль сдвига должен быть в пределах:

$$G = (0,78 \dots 0,82) 10^5 \text{ МПа.}$$

Работа № 2. Исследование деформированного и напряжённого состояния в стержне при кручении. (Нагадка № 1).

Цель работы - экспериментальное определение напряжений и сравнение опытных данных с результатами, подсчитанными по формулам.

Порядок выполнения работы.

1. Записать показания с цифрового табло ИД при отсутствии нагрузки на стержень для тензорезисторов, наклеенных под углом 45° к оси стержня.

2. Произвести последовательное нагружение бруса грузами до уровня $P = 50 \text{ Н}, 100 \text{ Н}, 150 \text{ Н}, 200 \text{ Н}$. На каждом уровне нагрузки сделать измерение по ИД для обоих тензорезисторов.

3. Подсчитать среднюю разность отсчётов ΔI и $\Delta 3$ по каждому резистору для $\Delta P = 50 \text{ Н}$ ($\Delta M_k = 22,5 \text{ Н}\cdot\text{м}$).

4. Определить приращение деформаций ε_1 и ε_3 , соответствующее $\Delta M_k = 22,5 \text{ Н}\cdot\text{м}$.

$$\varepsilon_{(1)} = \alpha \Delta I$$

где α - цена единицы дискретности ИД.

5. Определить главные напряжения σ_1 и σ_3 по формуле:

$$\sigma_1 = \frac{E}{1-\mu^2} (\varepsilon_1 + \mu \varepsilon_3); \quad \sigma_3 = \frac{E}{1-\mu^2} (\varepsilon_3 + \mu \varepsilon_1)$$

где $E = 0,7 \cdot 10^5 \text{ МПа}, \mu = 0,3$.

(алюминий)

6. Подсчитать величину касательных напряжений τ по формуле:

СМУ 000.000 ПС

таб
20

$$\tau_{max} = \frac{\Delta M_k}{W_p};$$

где:

$$W_p = \frac{\pi D^2 S}{2}$$

 D - средний диаметр кольцевого сечения δ - толщина кольцевого сечения.7. Сравнить результаты эксперимента (ϵ_1 и ϵ_3) и теоретического расчета (τ_{max}).Работа № 3. Исследование плоского напряженного состояния методом тензометрии. (Нагрузка № 1).

Цель работы - экспериментальное определение положения главных осей и главных напряжений, возникающих в стержне при нагружении его изгибанием и кручением моментами.

Порядок выполнения работы.

1. Снять показания с цифрового табло ИД при отсутствии нагрузки на стержень для всех трех тензорезисторов.

2. Последовательно нагружать стержень силой, приложенной к концу ручага, до уровней 50 Н, 100 Н, 150 Н, 200 Н. На каждом уровне нагрузки снять показания по ИД для всех тензорезисторов.

3. Подсчитать среднюю разность отсчетов $\Delta U / \Delta V \Delta t$ по каждому тензорезистору для ступени нагрузки $\Delta P = 50$ Н, где U, t, V - оси, в направлении которых измеряются деформации.

4. Определить положение главных осей формулой:

$$\operatorname{tg} 2\alpha = \frac{2\Delta t - (\Delta U + \Delta V)}{\Delta V - \Delta U};$$

где α - угол между первой главной осью стержня.5. Вычислить изгибающие деформации ϵ_1 и ϵ_3 в соответствии с выражениями:

$$W_p = 5 \times 81 \text{ см}^3$$

$$\sigma_{1,3} = \alpha_1 \left\{ \frac{\Delta U + \Delta V}{2} \pm \sqrt{\frac{1}{2} [(\Delta U - \Delta t)^2 + (\Delta V - \Delta t)^2]} \right\};$$

де α_1 - цена единицы дискретности ИД.

6. Подсчитать главные напряжения по формулам обобщенного закона Гука.

$$\sigma_1 = \frac{E}{1-\mu^2} (\epsilon_1 + \mu \epsilon_3); \quad \epsilon_3 = \frac{E}{1-\mu^2} (\epsilon_2 + \mu \epsilon_1),$$

где: $E = 0,7 \cdot 10^5$ МПа - модуль упругости для стали;

$\mu = 0,3$ - коэффициент Пуассона.

7. Теоретически определить положение главных осей и главные напряжения с помощью формул:

$$\operatorname{tg} 2\alpha = \frac{2\tau}{\sigma}; \quad \sigma_{1,3} = \frac{\sigma}{2} \pm \frac{1}{2} \sqrt{\sigma^2 + 4\tau^2},$$

$$\text{де: } \sigma = \frac{\Delta M_r}{W_r}; \quad \tau = \frac{\Delta M_K}{W_p}; \quad \Delta M_x = \Delta P \cdot l,$$

$$\Delta M_K = \Delta P \cdot a, \quad W_r = \frac{\pi D^3 \delta}{4}; \quad W_p = \frac{\pi D^3 \delta}{2},$$

W_r - осевой момент сопротивления;

W_p - полярный момент сопротивления кручения,

α - угол между осью стержня и первой главной осью,

l - длина стержня от свободного конца до исследуемого сечения,

a - длина рычага,

D - средний диаметр кольцевого сечения,

δ - толщина стенки сечения.

8. Сопоставить параметры, найденные в эксперименте, с результатами теоретического расчёта.

Работа № 4. Исследование напряжения деформированного состояния в плоских рамках. (Надлака № 2).

Цель работы - экспериментальное определение перемещения подвижной шарнирной опоры в статически определимой раме. Экспериментальное определение горизонтальной реакции в опорах один раз статически неопределенной рамы, полученной из определенной, путем наложения дополнительной горизонтальной связи на подвижную опору.

Сравнение направлений, действующих в среднем сечении горизонтального участка статически определенной и неопределенной рам.

Вычисление соответствующих теоретических значений и сопоставление их с экспериментальными данными.

Порядок выполнения работы.

1. На нагруженном приспособлении установить подвижный груз так, чтобы горизонтальная сила на левую опору рамы не действовала. При этом риска на грузе должна располагаться против нулевой отметки миллиметровой шкалы.

2. Задиксировать положение левой опоры по индикатору 13, а также снять показания с цифрового табло ИД.

3. Нагрузить раму симметрично силами $P = 20 \text{ Н}$. (Ступень нагрузления ΔP , таким образом, будет равна 20 Н).

4. Записать показания с индикатора и ИД.

5. Вычислить перемещение δA экс. подвижной опоры А рамы, как разность отсчетов по индикатору, и приращение деформации Δ^e , как разность отсчетов по ИД. Деформация Δ^e соответствует ступени нагружения рамы в статически определимом варианте крепления.

6. На нагруженном приспособлении установить подвижный груз так, чтобы возникшая горизонтальная сила $T_{\text{экс}}$ переместила подвижную опору рамы в исходное положение и показания индикатора вернулись к показаниям, отмеченным в п.2. Величина $T_{\text{экс}}$ определяется формулой:

$$T_{\text{экс}} = \frac{(G_1 + G_2) \cdot l_H}{50},$$

СМУ 000.000 ПС

$$G_1 + G_2 = 20H$$

G_1 - вес груза нагружного приспособления, G_2 - вес противовеса, мм - плечо, измеренное по шкале Ш.

7. Снять показания с цифрового табло ИД.
8. Вычислить приращение деформации Δ'' , соответствующее нагружению рамы ΔF , как разность отсчетов по ИД, полученных

$$\Delta'' = \Delta'_F - \Delta'_I$$

деформация Δ'' соответствует нагружению рамы в статически едином варианте закрепления.

$$\text{Подсчитать } \Delta''/\Delta^0$$

9. Путем теоретического расчета вычислить параметры, найденные в эксперименте. Все эти параметры могут быть определены при решении статически неопределенной рамы. Таким образом, схема соответствует величина δ_{1P} , силе $T^{(2)K}$ - x_1 и относению Δ''/Δ^0 - отношению M_x^0/M_x , где:

коэффициент канонического уравнения перемещений

$$\delta_{1P} = \frac{Pa(\ell - a)e}{E J_x};$$

горизонтальная реакция в статически неопределенной раме,

$$x_1 = \frac{Pa(\ell - a)}{C(\frac{2}{3}C + \ell)};$$

гибающий момент в среднем сечении горизонтального участка определимой рамы, $M_x^0 = Pa$,

самое для статически неопределенной рамы,

$$M_x^0 = Pa \frac{\alpha + \frac{2}{3}C}{\ell + \frac{2}{3}C};$$

горизонтального участка рамы (600 мм);

вертикального участка рамы (300 мм);

лине от края до точки приложения силы;

86 Ри-140.8
усл. табл. 3-17

СМУ 000.000 ПС

Задача
24

E - модуль упругости 1 рода;
 J_x - момент инерции поперечного сечения;

$$J_x = Eh^3/12,$$

b - ширина прямоугольного сечения;

h - высота сечения.

10. Сопоставить опытные данные с результатами теоретического расчета.

Работа № 5. Экспериментальная проверка теоремы взаимности работ и принципа взаимности перемещений (Подводка № 2).

Цель работы - опытная проверка теоремы взаимности работ и принципа взаимности перемещений.

Порядок выполнения работы.

Теорема взаимности работ.

1. Установить грузы нагружочного приисообления таким образом, чтобы момент в подвижной опоре А отсутствовал. (Риска на грузе должна при этом находиться против нулевой отметки миллиметровой шкалы).

2. Снять показания с индикатора, закреплённого на тележке 27 и предназначенного для замера угла поворота в опоре А.

3. Приложить в середине горизонтального участка (сечение В) силу $P = 20$ Н.

4. Вновь записать показания с индикатора, закреплённого на тележке.

5. Подсчитать разность отсчётов ΔA по индикатору и угол поворота φ_{AP} в подвижной опоре А, вызванный действием силы P

$$\varphi_{AP}^{\text{эксп}} = \frac{\Delta A}{\ell_0}$$

где ℓ_0 - длина рячага от опоры до ножки индикатора.

6. Убрать нагрузку P с рамы и снять отсчёт с индикатора, за-

СМУ 000.000 РС

креплённого на индикаторной стойке в сечении В.

7. Сместить грузы нагружочного приспособления на $\ell_H = 100$ мм
вдоль шкалы, что соответствует созданию момента $M = 2Hm$ в подвижной опоре А.

8. Вновь снять показания с индикатора, закреплённого на стойке.

9. Подсчитать разность отсчётов, т.е. прогиб δ_{BM} в сечении В, вызванный действием момента.

10. Определить угол поворота φ_{AP} по правилу Верещагина

$$\varphi_{AP} = \frac{P \ell^2}{16 E I_x},$$

II. В соответствии с равенством

$$P \cdot \delta_{BM} = M \cdot \varphi_{AP};$$

делаемым теоремой, подсчитать

$$\delta_{BM} = M \cdot \varphi_{AP} / P.$$

11. Сравнить экспериментальные результаты ($\varphi_{AP}^{\text{эксп.}}, \delta_{BM}^{\text{эксп.}}$)
теоретическими ($\varphi_{AP}, \delta_{BM}$).

Принцип взаимности перемещений.

1. Установить грузы нагружочного приспособления таким образом,
на опору А горизонтальная сила не действовала.

2. Снять показания с индикатора, закреплённого на стойке в сечении В рамы.

3. Нагрузить раму горизонтальной силой $P = 5$ Н, приложенной в опоре А.

4. Вторично снять показания с индикатора.

5. Вычислить прогиб δ_B в сечении В рамы, как разность показаний индикатора, соответствующую ступени нагружения в 5 Н в опоре А по горизонтали.

6. Убрать нагрузку в опоре А и снять показания с индикатора, закреплённого на плите.

СМУ 000.000 по

Лист 26

3. Помечтать упинение пружины λ , соответствующее падению веса нагружи, как разность текущего и первого отсчетов.
4. Подсчитать приращение длины пружины $\Delta\lambda$, соответствующее единицам нагружения как среднюю разность последующего и предыдущего отсчетов.
5. По данным, определенным в п.3, построить экспериментальную характеристику пружины $P = P(\lambda)$.
6. По данным, определенным в п.4, подсчитать жесткость пружины

$$K_{\text{эксп.}} = \frac{\Delta P}{\Delta \lambda}$$

7. Помечтать теоретическую жесткость K пружины в соответствии с формулой:

$$K = \frac{G d^4}{8 D l}$$

G — модуль сдвига,

d — диаметр проволоки,

D — средний диаметр пружины,

i — число рабочих витков пружины.

8. По жесткости K построить теоретическую силовую характеристику пружины и сопоставить результаты эксперимента с теорией.

Работа № 7. Опытная проверка теории изгиба (Нагрузка Т-1).

Цель работы — проверка закона распределения нормальных напряжений по высоте балки при чистом изгибе.

Определение главных напряжений в сечении балки при поперечном изгибе.

Сопоставление опытных данных с результатами расчета по формуле сопротивления материалов

--	--	--

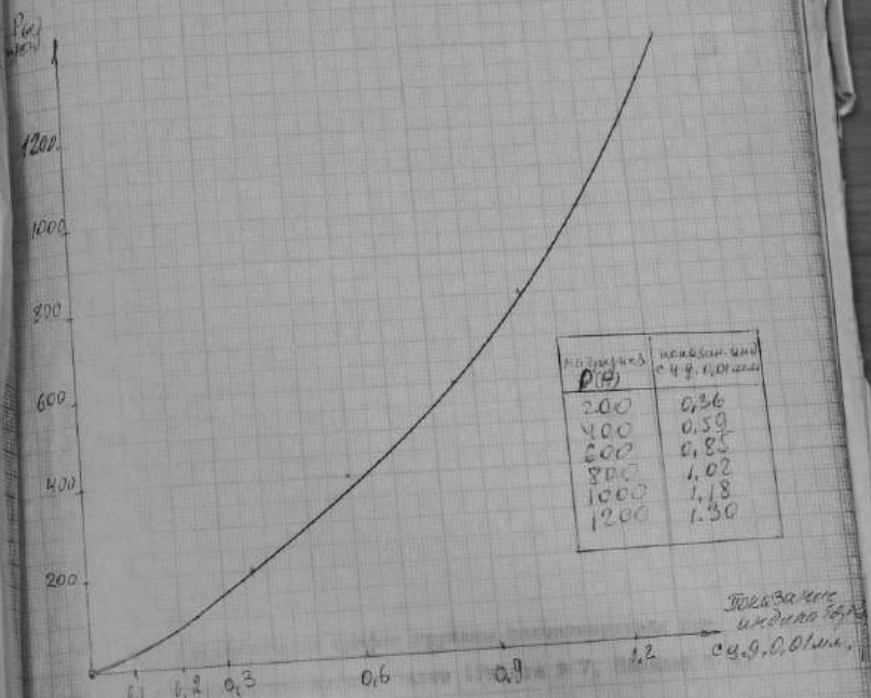
сум 000 000 нс

7

28

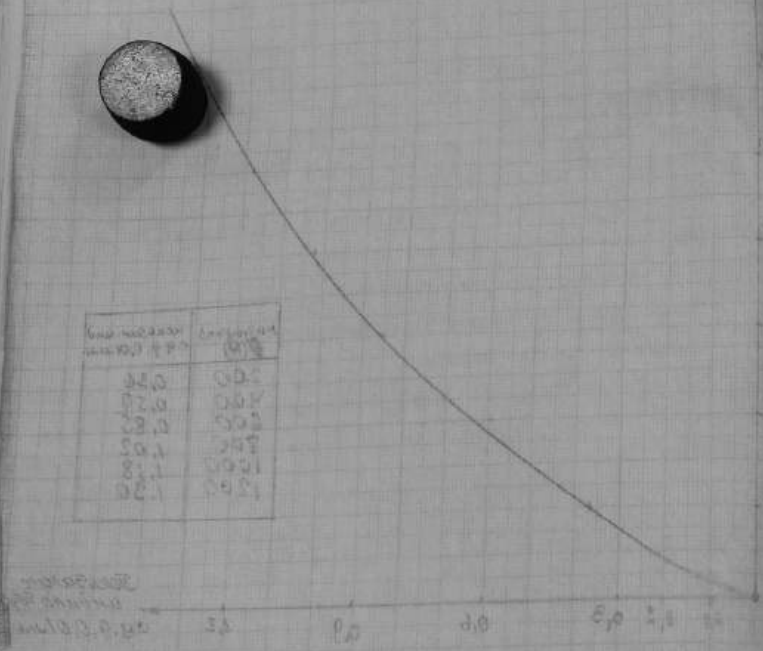
Парировочный график пружины-шайбы
№ СМУ. 810. 018 № 20

Парировка выполнена образцовым детально-
шайбами зарядом типа ЗОСН-3-02 № 1026



Проверка изгиба балки при поперечном изгибе
и измерение прогиба

Сила навески, кН	Сигнал, мВ
46,0	0,01
57,0	0,02
63,0	0,03
59,1	0,02
88,1	0,03
92,1	0,04



Тарировочный график пружины силоизмерителя при
поперечном изгибе балки (Работа № 7, Наладка № 4).

Смы 000.000 ИС

Порядок выполнения работы.

чистый изгиб.

1. Подключить измеритель деформаций к тензорезисторам, находящимся в зоне чистого изгиба.

2. Последовательно нагрузить балку с помощью винтового устройства усилием до уровня 1 кН, 2 кН и 3 кН. Величина усилия контролируется по индикатору динамометра с помощью тарировочного графика. На каждом уровне нагрузки снять показания с ИД для всех тензорезисторов зоны чистого изгиба.

3. Подсчитать среднюю разность отсчетов $\Delta \varepsilon$ по каждому тензорезистору для ступени нагрузки $\Delta P = 1\text{кН}$.

4. Определить напряжение $\varepsilon_{\text{эксп}}^{\text{расп}}$ для всех точек, в которых находятся тензорезисторы, по формуле:

$$\varepsilon_{\text{эксп}}^{\text{расп}} = E \alpha \Delta \varepsilon,$$

α - цена единицы дискретности ИД,

E - модуль упругости материала балки.

5. Вычислить максимальное напряжение $\sigma_{\text{теор.}}^{\text{расп}}$ в соответствии выражением:

$$\sigma_{\text{теор.}}^{\text{расп}} = \frac{M_x}{W_x};$$

M_x - внутренний изгибающий момент в поперечном сечении балки,

W_x - момент сопротивления сечения изгибу.

6. По величине $\sigma_{\text{теор.}}^{\text{расп}}$ построить эпюру нормальных напряжений, возникших в поперечном сечении. Точками показать на эпюре напряжение $\varepsilon_{\text{эксп.}}$, найденное в эксперименте.

7. Оценить совпадение опытных и расчетных данных и линейность изменения напряжений по высоте.

Поперечный изгиб.

8. Подключить ИД к тензорезисторам, находящимся в зоне поперечного изгиба.

9. Последовательно нагрузить балку усилием, принявшим значение

СМУ 000.000 ПС

1 кН, 2кН, 3кН. На каждом уровне нагрузки снять показания с ИД для всех тензорезисторов зоны поперечного изгиба.

10. Подсчитать среднюю разность отсчетов $\Delta \varepsilon$ по каждому тензорезистору для ступени нагрузки $P = 1$ кН. Здесь $\varepsilon_{1..n}$, где "n" - число тензорезисторов в зоне поперечного изгиба.

11. По данным эксперимента вычислить главные напряжения σ_{1j}^3 и σ_{2j}^3 для каждой исследуемой точки сечения балки. Здесь $j = 1..K$ где K - число исследуемых точек. Напряжения определяются в соответствии с выражениями:

$$\sigma_{1j}^3 = \frac{\alpha E}{1-\nu^2} (\Delta L_j + \nu \Delta 2j),$$

$$\sigma_{2j}^3 = \frac{\alpha E}{1-\nu^2} (\Delta 2j + \nu \Delta L_j),$$

где $\Delta L_j, \Delta 2j$ - главные деформации в j -й точке сечения, выраженные в единицах дискретности ИД и определяемые по значению $\Delta \varepsilon$ в этой точке,

ν - коэффициент Пуассона.

12. Определить теоретическое значение главных напряжений σ_{1j}^T и σ_{2j}^T для всех исследуемых точек сечения по формулам:

$$\sigma_{1..j}^T = \frac{\sigma_j}{2} + \frac{1}{2} \sqrt{\sigma_j^2 + 4\tau_j^2},$$

$$\sigma_j = \frac{M_x \cdot y_j}{I_x}; \quad \tau_j = \frac{Q_y \cdot S_{xj}}{I_x \cdot b_j}$$

где σ_j и τ_j - нормальное и касательное напряжения в j -й точке поперечного сечения, y_j - координата j -й точки относительно нейтрального слоя, I_x - момент инерции сечения относительно нейтральной оси x , S_{xj} - статический момент части сечения, расположенного выше уровня j -й точки относительно оси x , b_j - ширина сечения на уровне j -й точки.

13. Сравнить значения главных напряжений, найденных из опыта и подсчитанных по формулам сопротивления материалов.

СМУ 000.000 ИС

Работа № 8. Определение перемещений в балке при изгибе.
(Нагадка № 5).

Цель работы - определение опытным путём прогибов и углов поворота сечений балки и сравнение их с теоретическими значениями.

Порядок выполнения работы.

1. В заданном сечении К балки установить серту с подвеской.
2. Снять показания с индикаторов.
3. Нагрузить балку силой в 30 - 40 Н и снова снять показания индикаторов.
4. Подсчитать разности отсчётов по индикаторам, соответствующие приращению силы в 30 Н (или 40 Н).
5. По разностям отсчёта определить вертикальное смещение ΔK^T сечения К (Б-Б) и угол поворота φ^T опорного сечения В, соответствующее приращению силы ΔP .

6. Вычислить теоретические значения прогиба ΔK^T сечения К и угла поворота φ_B^T сечения В при нагрузке, равной ΔP .

Для балки, нагруженной посередине между шарирными опорами, смещение точки К приложения силы и угол поворота правого опорного сечения В определяются в соответствии с выражениями:

$$\Delta K^T = \frac{\Delta P \ell^3}{48 E I_K}; \quad \varphi_B^T = \frac{\Delta P \ell^2}{16 E I_K}.$$

ℓ - длина балки между опорами, E - модуль упругости материала и, I_K - момент инерции сечения балки.

7. Сравнить действительные прогибы и углы поворота с перемещениями, подсчитанными с помощью формул.

Работа № 9. Опытная проверка величины опорной реакции статически неопределенной балки. (Нагадка № 5).

Цель работы - определение опытным путём величины опорной реакции в статически неопределенной балке и сравнение её с теоретическим значением.

Порядок выполнения работы.

СМУ 000.000 Н.

1. Снять показания с индикатора, установленного на месте предполагаемого размещения промежуточной опоры.

2. В краине левом сечении консольного участка балки приложить нагрузку $P = 20 - 40$ Н.

3. В месте установки индикатора приложить дополнительную нагрузку, величина и направление которой должны обеспечить возврат балки в исходное состояние и показания индикатора, соответствующие п.1.

Величина нагрузки в этом случае равна величине опорной реакции R в неразрезной балке.

4. Подсчитать величину дополнительной нагрузки R^2 , измерив смещение ℓ_H груза в нагружочном приспособлении, по формуле

$$R^2 = \ell_H \quad (\text{при } b = 20\text{мм}),$$

где R^2 измеряется в Ньютонах, ℓ_H - миллиметрах.

5. Вычислить теоретическое значение опорной реакции R^T . Для шарирно опертой балки, имеющей консольный участок длиной α , реакция в промежуточной опоре, расположенной посередине пролёта ℓ балки, определяется выражением:

$$R^T = 3P \frac{\alpha}{\ell}$$

6. Сопоставить действительное значение реакции и величину R^2 , найденную по формуле.

Работа № 10. Исследование стержня на косой изгиб. (Надпись № 6).

Цель работы - определение напряжений в точке контрольного сечения и перенесений, возникших в балке при косом изгибе и сопоставление полученных параметров с расчётными.

Порядок проведения работы.

1. Снять показания с цифрового табло ИД по обеим тензопарам для начальной нагрузки, создаваемой подвеской.

2. Снять показания с индикаторов для той же нагрузки.

3. Последовательно нагрузить балку силой 10 Н, 20 Н и 30 Н. На каждом уровне нагрузки снять показания с табло ИД по обеим тензопарам и с индикаторов.

СМУ 000.000 ПС

4. Для приложения нагрузки $\Delta F = 10 \text{ Н}$ подсчитать приложение формаций Δ^1 и Δ^2 в точках "1" и "2", как среднюю разность соответствующих отсчетов по ИД.

5. Для того же значения ΔF определить перемещения δ_x^1 и δ_y^1 свободного конца балки соответственно в направлении осей x и y , как единую разность отсчетов по каждому индикатору.

6. Вычислить напряжения σ_c^1 в опасной угловой точке С континуального сечения в соответствии с выражением:

$$\sigma_c^1 = E\alpha (\Delta^1 + \Delta^2)$$

в E - модуль упругости материала балки,

α - цена единицы дискретности ИД.

7. Подсчитать напряжение σ_c^T в точке С, пользуясь формулой:

$$\sigma_c^T = \frac{M_v}{W_x} + \frac{M_y}{W_y},$$

где M_x и M_y - приложения внутренних изгибающих моментов в контрольной точке (где наклеены тензорезисторы) относительно центральных осей x и y . W_x и W_y - моменты сопротивления сечения изгибу относительно осей x и y .

8. Подсчитать перемещения δ_x^T и δ_y^T свободного конца балки в соответствии с выражениями:

$$\delta_x^T = \frac{\Delta F \sin \varphi \ell^3}{3E I_y}; \quad \delta_y^T = \frac{\Delta F \cos \varphi \ell^3}{3E I_x};$$

в φ - угол между вертикалью и осью y ,

ℓ - длина балки,

I_x и I_y - моменты инерции сечения относительно осей x и y .

9. Сопоставить действительные напряжения σ_c^1 и перемещения δ_x^1, δ_y^1 с результатами соответствующих теоретических расчетов.

Работа № II. Испытание линейного стержня открытого профиля на изгиб и кручение. (Нагледка № 7).

Цель работы - экспериментальная проверка положения центра изгиба сечения; проверка закона распределения секториальных нормальных напряжений при стесненном кручении.

Порядок выполнения работы.

1. Нагрузить стержень силой $P = 10$ Н.
2. Определить положение центра изгиба, α , т.е. найти такое положение груза при его смещении вдоль направляющей, при котором стержень не будет закручиваться. В этом случае индикаторы отсчитят одинаковые смещения вниз концов направляющей.
3. Снять показания с цифрового табло ИД по всем тензорезисторам при $P = 10$ Н и совпадении точки приложения силы с центром изгиба.
4. Нагрузить стержень силой $P = 60$ Н и снова снять показания с ИД по всем тензорезисторам.
5. Подсчитать приращение δ_i^3 чисто изгибных напряжений для каждого i -го тензорезистора, соответствующее ступени ΔP нагружения 50 Н, согласно равенству:

$$\delta_i^3 = E \cdot \alpha \cdot \Delta i,$$

где: E - модуль упругости материала стержня, α - цена единицы дискретности ИД, Δi - разность отсчетов по ИД для ступени ΔP нагружения при условии, что сила приложена в центре изгиба.

6. Сместить точку приложения нагрузки на расстояние "с" от центра изгиба и нагрузить стержень силой $P = 10$ Н.
7. Снять показания с ИД по всем тензорезисторам.
8. Нагрузить стержень силой $P = 60$ Н и опять снять показания с ИД для всех тензорезисторов.
9. Подсчитать приращение напряжений δ_i^3 для каждого i -го тензорезистора, соответствующее $\Delta P = 50$ Н согласно равенству

$$\delta_i^3 = E \cdot \alpha \cdot \Delta i$$

Δi - разность отсчетов по ИД при $\Delta P = 50 \text{ Н}$ для случаев, когда точка приложения силы смешена на расстояние "с" от центра изгиба.

10. Подсчитать приращение $\sigma_{\omega i}^T$ напряжений, вызванных действием стесненного кручения, для каждой i -ой точки по формуле:

$$\sigma_{\omega i}^T = \sigma_i^T - \sigma_{\omega i}$$

11. Определить напряжение $\sigma_{\omega i}^T$, возникающее в каждой i -ой точке под действием стесненного кручения для $P = 50 \text{ Н}$ в соответствии с выражением:

$$\sigma_{\omega i} = \frac{B \omega \cdot \psi}{J \omega}$$

$B \omega$ - бимомент, $J \omega$ - секториальный момент инерции, ψ - секториальная площадь.

12. Сопоставить действительные напряжения $\sigma_{\omega i}^T$ с соответствующими напряжениями, подсчитанными по формуле.

Работа № 12. Исследование явления потери устойчивости сжатого стержня в упругой стадии. (Нагледка № 8).

Цель работы - исследование явления потери устойчивости стального центрально сжатых стержней в упругой стадии; определение экспериментальных значений критических нагрузок и сравнение их с теоретическими, подсчитанными по формуле Эйлера, при разных опорных закреплениях стержней.

Порядок выполнения работы.

1. Осуществить один из следующих вариантов замещения балки:

- шарнирная связь по обеим сторонам балки,
- шарнирная связь с одной стороны балки, с другой - жесткое сжатие,

в) жесткое замещение с обеих сторон балки,

г) шарнирная связь с обеих сторон балки и в центре между опорами.

2. Произвести нагружение балки силой $P_{\text{кр}}$ винтовым механизном.

СМУ 000.000 ПС

Лист
36

По индикатору динамометра следить за ростом нагрузки.

По индикатору у левой головки следить за перемещением торца головки.

3. Весьма момент прекращения роста силы P_0 при продолжавшемся воздействии винтового механизма и перемещении торца головки. В этом случае величина силы P_0 соответствует критической нагрузке при центральном закреплении балки.

4. Найти силу P_0 по показаниям индикатора динамометра и спиральных графикам.

5. Вычислить величину критической нагрузки $P_{кр}$

$$P_{кр} = \frac{\pi^2 E I_{min}}{(4\ell)^2}; I_{min} = \frac{\ell^{1/3}}{12};$$

где E - модуль упругости, ℓ - пролёт балки, μ - коэффициент приведения длины, ℓ и μ - ширина и высота сечения балки.

6. Найти значения P_0^x и P_0^y для всех способов закрепления балки.

7. Сравнить теоретические и экспериментальные величины критической нагрузки (P_0 и $P_{кр}$).

Работа № 13 Исследование работы стержня при пропольно поперечном изгибе. (Надпись № 6).

Цель работы - экспериментальное определение зависимости между продольной нагрузкой N и прогибами U стержня и сопоставление её с теоретической кривой, полученной с помощью приближённой формулы С.П. Тимошенко; определение критической силы стержня косвенным способом, предложенным Онуфриевым.

Порядок выполнения работы

1. Нагрузить балку поперечной нагрузкой $Q = 2,5$ Н в середине пролёта.
2. Снять показания δ с индикатора, регистрирующего прогиб балки.

3. После обрыва провести нагружение балки продольной скобой N при её значениях 10, 40, 60, 80, 100 Н. Величину силы определять по

СМВ 000.000 по

делить по индикатору динамометра с помощью гарировочного графика.
снять показания δ_c с индикатора прогиба при каждом уровне N_i на
грузки.

4. Определить прогиб балки $y_c^3 - \delta_i - \delta_c$ для каждого уровня
силы N_i .

5. Вычислить теоретическую величину прогиба y_n балки, вызван-
ного действием только поперечной силы Q , согласно зависимости

$$y_n = \frac{Q l^3}{48 E I_{min}}$$

где l — длина балки, E — модуль упругости материала балки, I_{min} —
момент инерции сечения относительно оси с минимальной жесткостью.

6. Подсчитать теоретическую величину прогиба y_c^3 балки при со-
местном действии продольной и поперечной силы на каждом уровне N_i
нагрузки по формулам:

$$y_c^3 = \frac{y_n}{1 - \frac{N_i}{P_{cr}^T}}, \quad P_{cr}^T = \frac{\pi^2 E I_{min}}{(mc)^2},$$

• m — коэффициент приведения длины.

7. Построить график изменения прогиба y_c^3 в зависимости от ве-
личины N_i , здесь же нанести точки, соответствующие значениям y_c^3 ,
введенным из эксперимента.

8. На основании опытных данных определить приближенное значе-
ние критической силы P_{cr}^T по формуле:

$$P_{cr}^T = \frac{N_i}{1 - \frac{\delta_c}{y_c^3}}$$

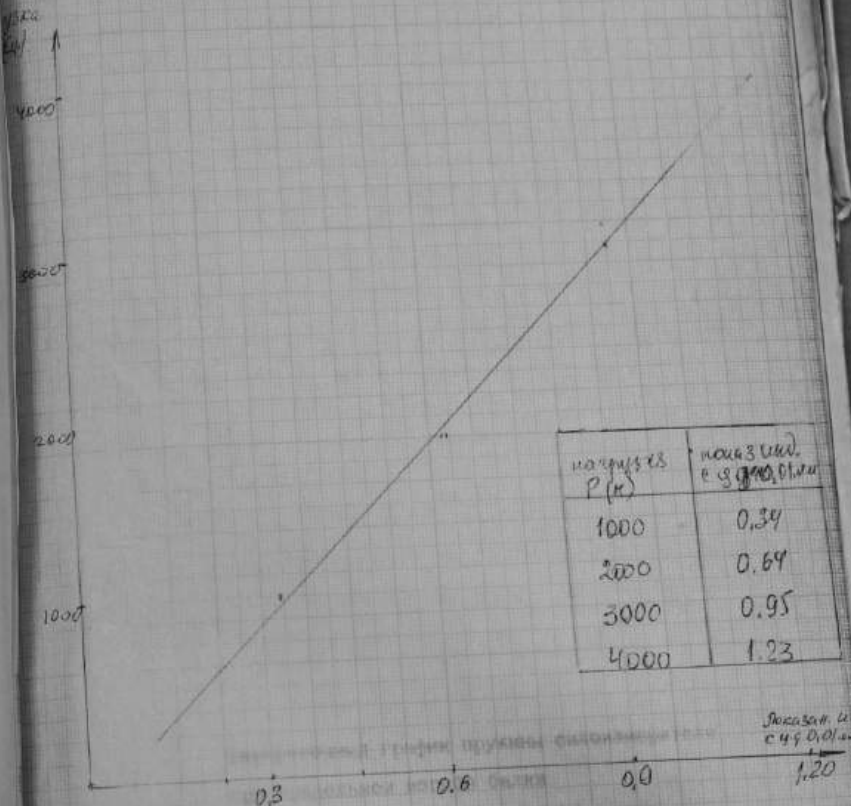
9. Построить график изменения величины δ_c/y_c^3 в зависи-
мости от продольной силы N_i и аппроксимируя экспериментальную
река прямой, найти значение критической силы P_{cr}^T , где в качестве

1	2	3	4

0.000.000.000

Парировочный градуск пружины-корольчка
слу. 430. 000. №90

Парировка произведена с учетом от 100 до 4000 кг
образцовый микрометр скатия 3^{го} разряда
типа Фоси 3-1 №92



Сила в килонewtonах	Угол изгиба в градусах
40.0	0001
48.0	0002
56.0	0003
64.0	0004



Тарировочный график пружины силоизмерителя
при продольном изгибе балки
(Работы № 12, 13, Наладка № 8).

СМУ 000 000 ПС

точки пересечения этой прямой с осью №

10. Составить действительные значения прогибов φ_1 и кри-

тической силы $R_{\text{кр}}$ с соответствующими величинами, полученными в реаль-

е.

6 ТЕХНИЧЕСКОЕ ОБСЛУЖИВАНИЕ

6.1 Техническое обслуживание стендов сводится к уходу за ним
целью его сохранности.

6.2 Необходимо периодически осматривать и подтягивать (не ре-
зультатом в неделю) болтовые соединения стендов.

6.3 Необходимо систематически следить за уровнем поверхности
пола стендов.

6.4 При открытии дверей стендов и выдвижении панелей необхо-
димо проверить надёжность крепления опорных стоек и ограничителей
при необходимости постянуть гайки опорных стоек.

6.5 Необходимо систематически смотреть за исправностью
тентропроводки. Следить за надёжностью заземления. Не допускать на-
личия оголённых проводов.

6.6 При проведении лабораторных работ необходимо системати-
чески следить за тем, чтобы функциональные элементы (опорные и инди-
каторные стойки, образцы, приборы, грузы, крепёжные излияния и т.д.)
кладывались и хранились в панелях в строго определённых для них
местах.

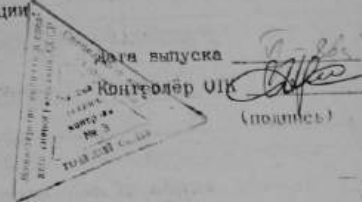
6.7 Периодичность профилактических ремонтов устанавливается
в зависимости от условий работы стендов, но не реже одного раза в год.

6.8 При ремонтах, демонтированные узлы и ответственные детали
должны храниться на специальных мягких подкладках.

10. СВИДЕТЕЛЬСТВО О ПРИЕМКЕ

Стенд универсальный для проведения лабораторных работ по курсу "Сопротивление материалов" СМУ, заводской номер №60 соответствует техническим условиям ТУ 40 и признан годным для эксплуатации.

М1



СМУ 000.000 ИС

Число

41

9. ХАРАКТЕРИСТИКА И МЕТОДЫ ИСПРАВЛЕНИЯ

Перечень наиболее часто встречающихся или возможных неисправностей приведен в таблице

Таблица

Название неисправности: Вероятная причина: Метод устранения:	Примечание		
1	2	3	4
Демали с большим усилием выкатывается из раскрытые ровны на и зафиксированы под углом 90° двери	Разрегулировать направление по высоте и по направлению обжать гайки.	Снять панель с полки и со стены. Разрегулировать направление по высоте и по направлению обжать гайки.	
Замок плохо фиксирует двери стенд	Ослабли пружины	Разобрать замок. Урегулировать усилие пружины.	
Боковые склонники не четко фиксируются в рабочем положении	Ослабли пружины	Разобрать фиксаторы. Урегулировать усилие пружин	
Плохо зафиксирован индикатор	фикаторов	Винт не входит в клем- место, затяг винтом	
Затирают подвижные опоры наладок		Неправильная сборка. Попадание пыли на поверхность отмыть и глянцевые	
Затирают подшипниковые шарниры		Попадание пыли. Разобрать подшипниковые узлы, промыть керосином, снова собрать	
Проворачивается образец при испытании на кручение	Ослаб тангенциальный зажим	Разобрать зажим, очистить центральный Собрать зажим с большим усилием на роватке	

СМУ 000.000 лс

12

11. ГАРАНТИЙНОЕ ОБЯЗАТЕЛЬСТВО.

11.1. Предприятие - изготовитель гарантирует нормальную работу и соответствие требованиям технических условий "Стенка универсального для проведения лабораторных работ по курсу "Сопротивление материалов" "СМУ" в течение 12 месяцев со дня гвода его в эксплуатацию.

11.2. Стенка, в котором в течение гарантированного срока обнаруживается несоответствие требованиям технических условий, безвозмездно ремонтируется предприятием-изготовителем, при условии соблюдения правил транспортирования, хранения и эксплуатации.

11.3. Гарантия не распространяется на покупные детали, гарантийный срок которых меньше 12 месяцев.

12. СВЕДЕНИЯ О РЕКЛАМАЦИИ.

12.1. Оформленные акты рекламации должны направляться заводу-изготовителю по адресу 270039 г. Озёры, Стартовая 12
Дирекция инженерных служб "Союзаприбор"

12.2. Копия акта рекламации должна направляться по адресу:
 111024, Москва, ул. З.П. Кабельная 1, ВНИИО "Союзаприбор". Отдел испытаний.

СМУ 000.000.НС

15. ОВИДЕНТКАСТВО О КОНСЕРВАЦИИ

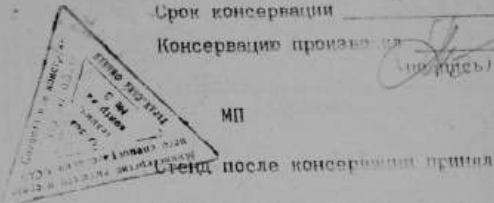
Стенд универсальный для проведения лабораторных работ по курсу
опробование материалов СМУ", заводской номер н/д
поступил на ФСБ МЧС России, Башкортостан

(наименование предприятия, производящего консервацию)
консервации согласно требованиям, предусмотренным техническими условиями
ГОСТ Р ИСО 9001-2008

дата консервации 15.06.

срок консервации

Консервация произведена (подпись)



Стенд после консервации принят

(подпись)

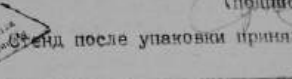
СМУ 000.000 РС

Лист 44

14. СВИДЕТЕЛЬСТВО ОБ УПАКОВКЕ.

Стенд универсальный для проведения лабораторных работ по курсу
 Сопротивление материалов СМУ", заводской номер 162
 упакован на Урал Гидравлические машины
 (наименование предприятия, производящего упаковку)

отвечаю требованиям, предусмотренным конструкторской документацией.

	Дата упаковки <u>11.86</u>
	Упаковку производил <u>Г. А. Кузнецов</u> (подпись)
	Стенд после упаковки принял (подпись)

СМУ 000 000 10

Лист
45

ПРИЛОЖЕНИЕ

Наименование	Соединение	Составная часть комплекса	Масса : в 1 шт :	Масса : в 1 шт :
Горелка	ГЕО.364.126 ТУ 2ГН22КН10ШВ1	Сборочная единица комплекта корпусного изделия		
Штеккер малогабаритный МШ-1	00.0364.000 ТУ	СМУ 091.000	1	0,0367
Вилка	ГЕО.364.126 ТУ 2ГН22Б10ШВ1	СМУ 110.000 СМУ 210.000 СМУ 410.000 СМУ 510.000 СМУ 710.000	1 2 2 1 1	0,011506 0,022812 0,10614 0,05307 0,05307
				Итого:
				0,4389 кг.

СМУ СОС О.О. РС

Подпись

Документ

Назначение	Составлено	Сборочные единицы комплекта	Масса	Масса	Примечания
		шт	в кг	в кг	
Латунь					

Лист ДПМНО, Т-1163 ГОСТ 931-78	СМУ 000.000 комплекты	0,2 кг 0,1 кг <u>Итого: 0,3 кг</u>
Лист ДПРН 1, СЧИ 63 ГОСТ 931-78	СМУ 214.000 СМУ 220.000	1 1 <u>Итого: 0,1 кг</u>

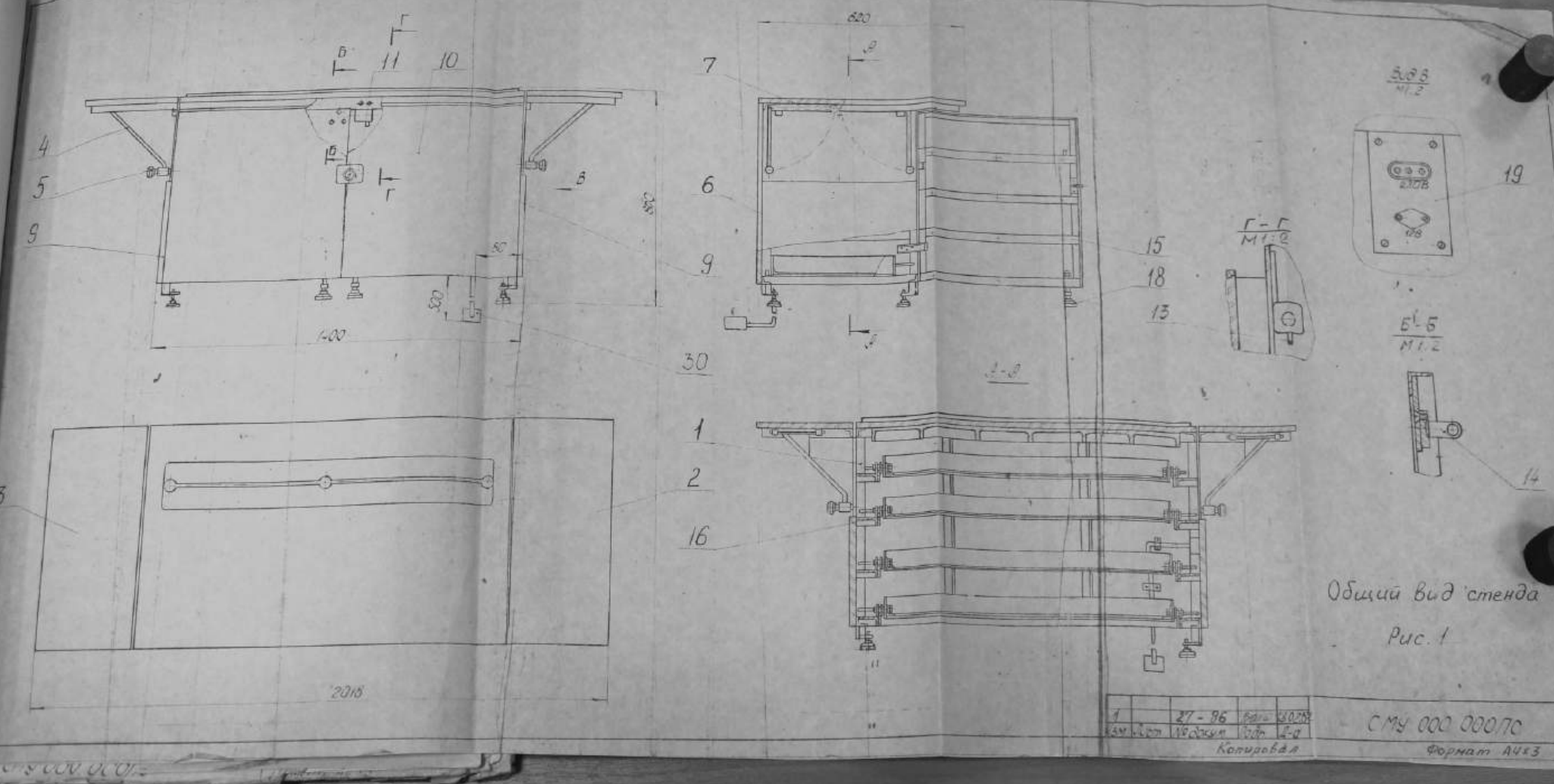
Сплав алюминиевый	ГОСТ 2685-75	комплекты	3,7 кг
АК7М2 (А114Б)			

Трубы круглые ДС 3.1167	СТ 8475-73	СМУ 110.000	1	1	0,4 кг
Лист Д16 АТ-2	ГОСТ 21691-76	СМУ 410.000	1	1	1,5 кг

27-86
Лист № 2 лист
Помощник
Дата

СМУ 000.000 НС

Проверено Фото: 15



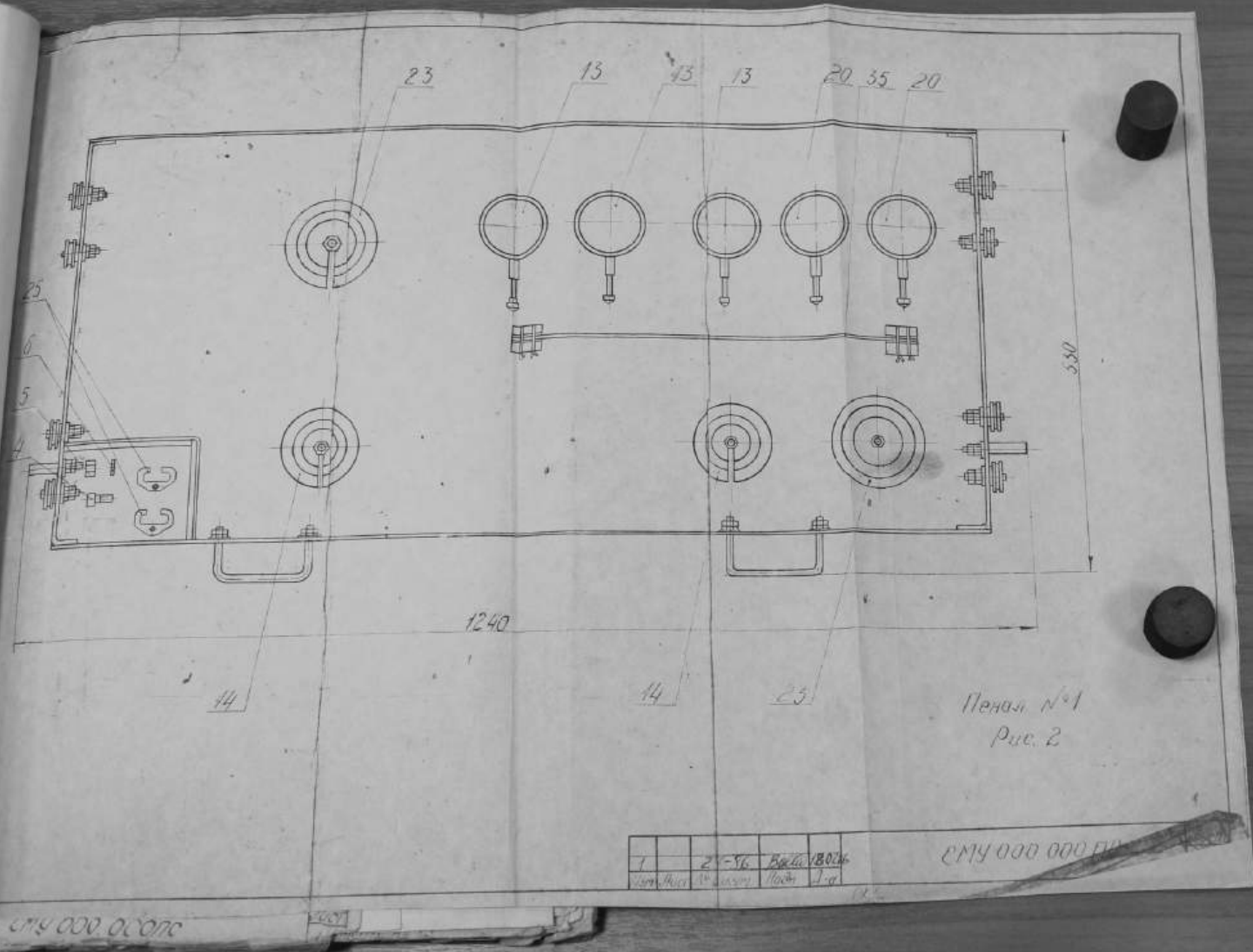
Общий вид стенда

Рис. 1

1	27-96	Бал. 4029
2	Балансир	Бал. 6-9
3	Копироваль	

СМУ 000 000/00

Формат А4х3



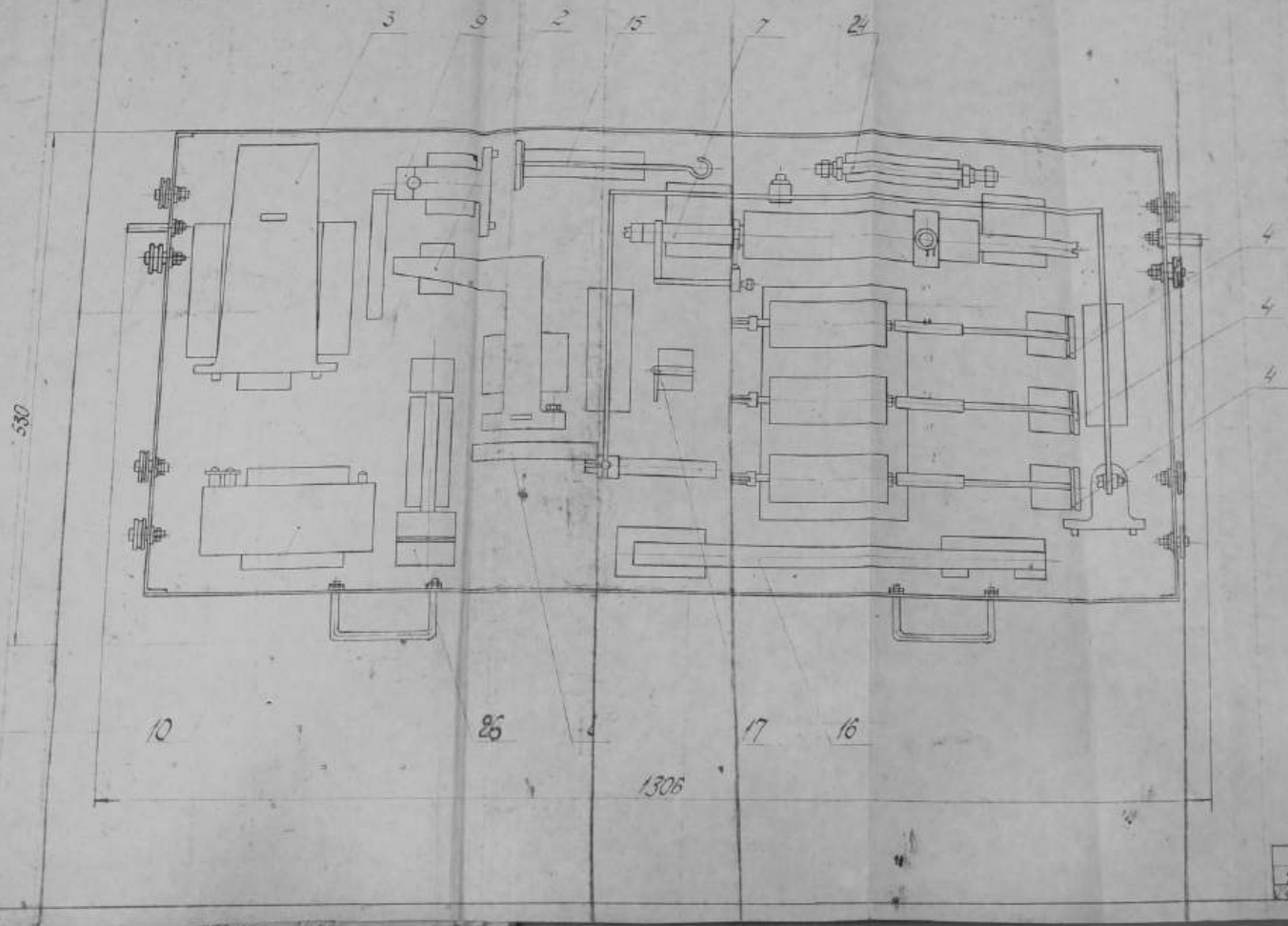
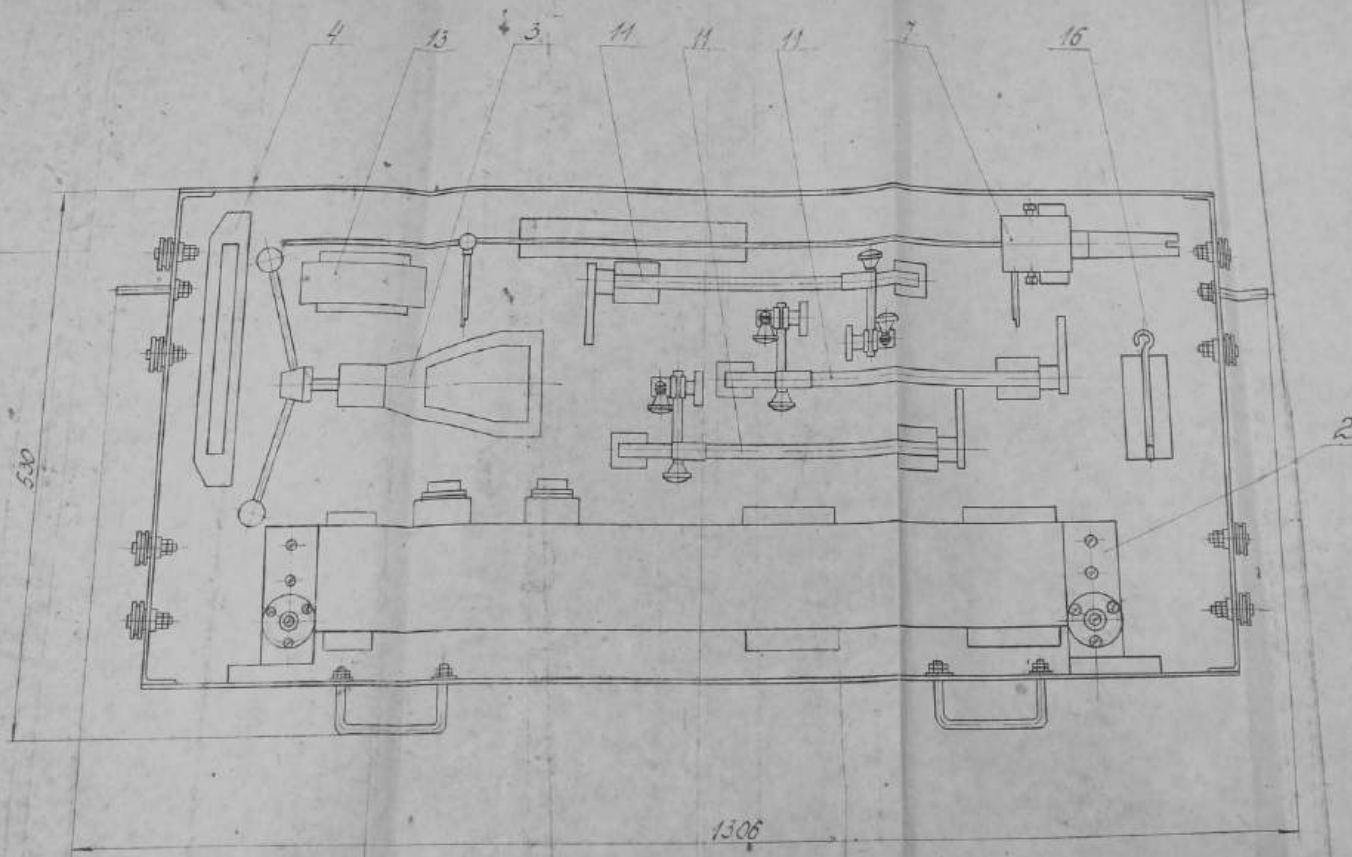


Рисунок №2

Рис. 3

1	27 - 51	Файл 48271
2	30	Ver 0.1 Nedostoy 7027-4-8

000 000000



Пенал №3

Рис. 4

Чертеж № 1306
Год. 1964

СМУ 000.000 ПС

Лист
49

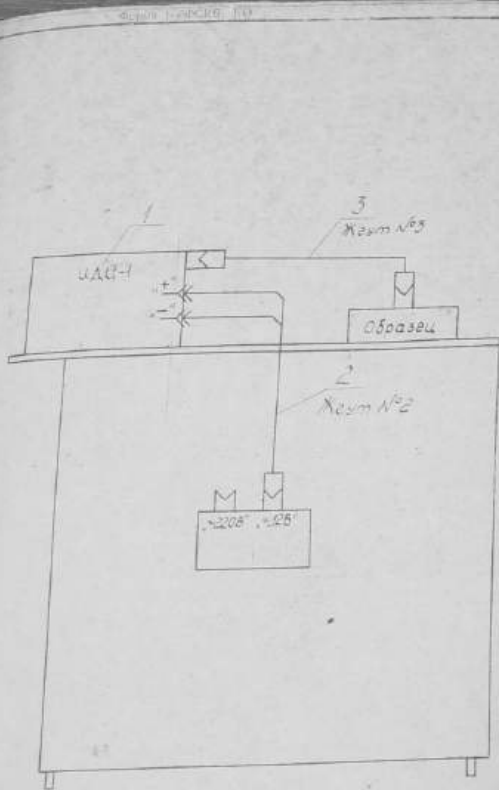
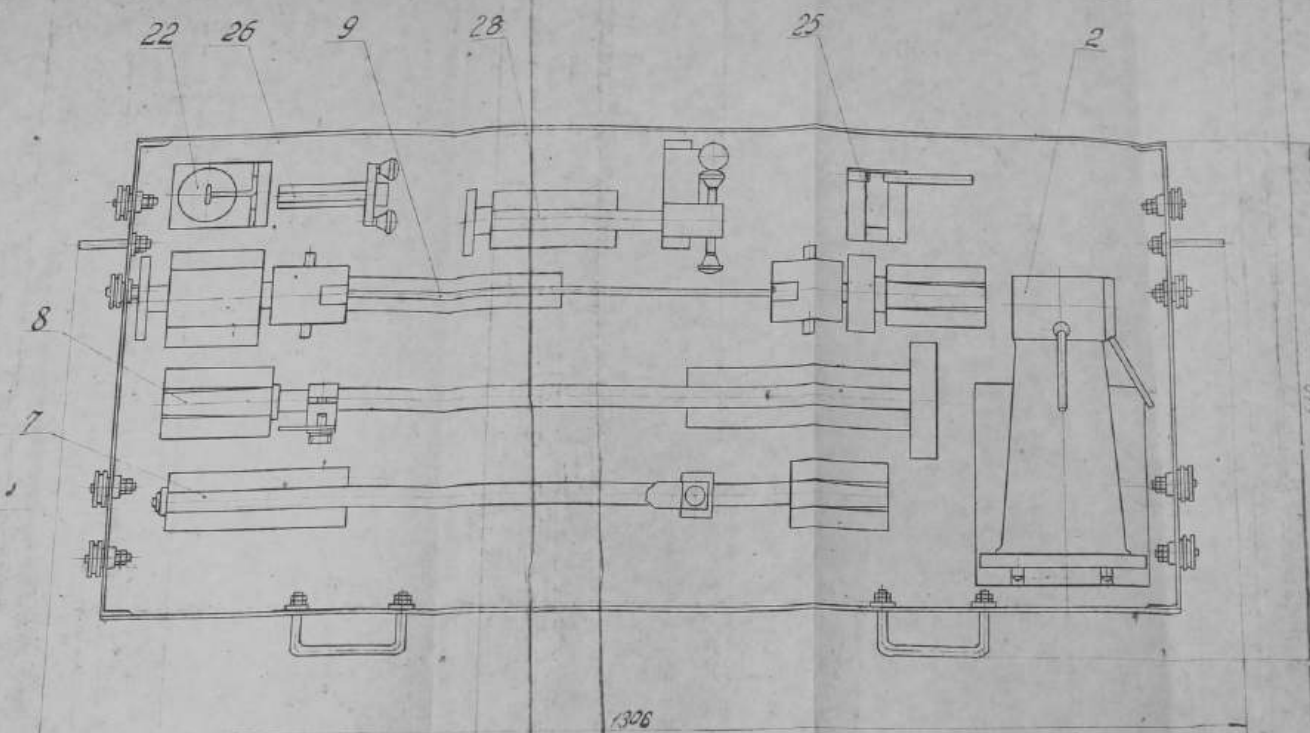


Схема подключения измерения деформации
типа УДЦ - 1

Рис. 6

СМУ 000 000 ПС

Лист
51



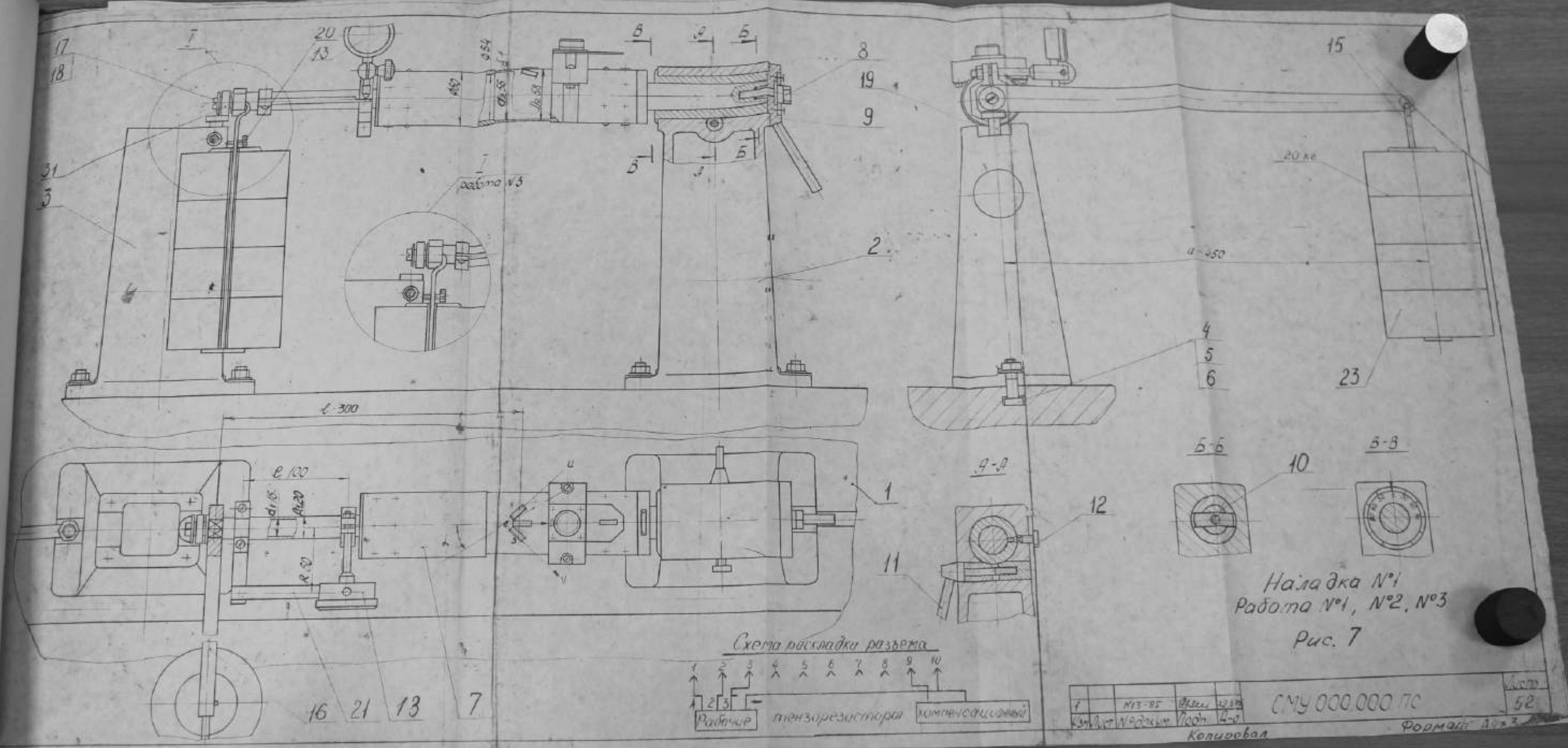
Лист №4

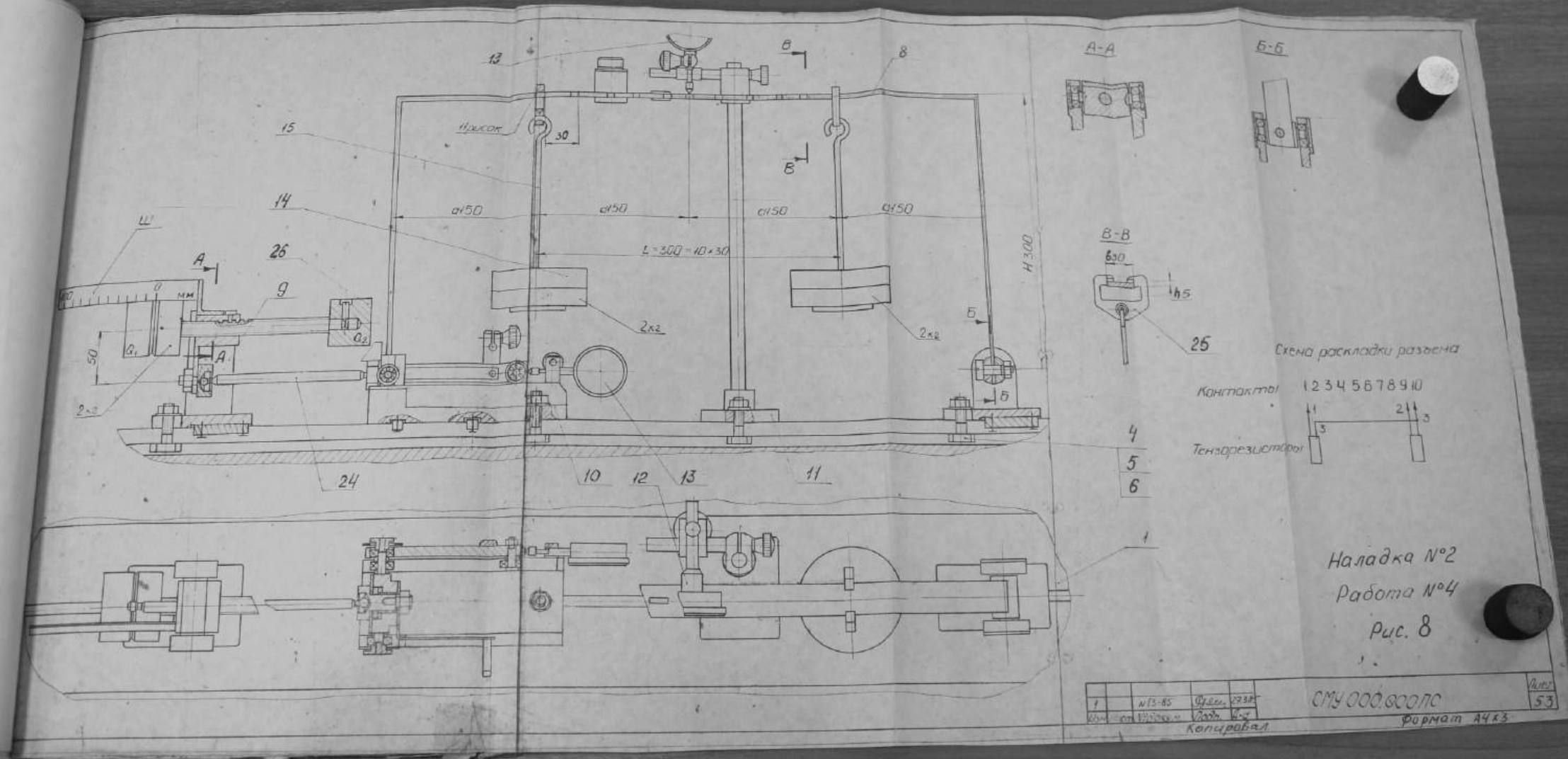
Рис.5

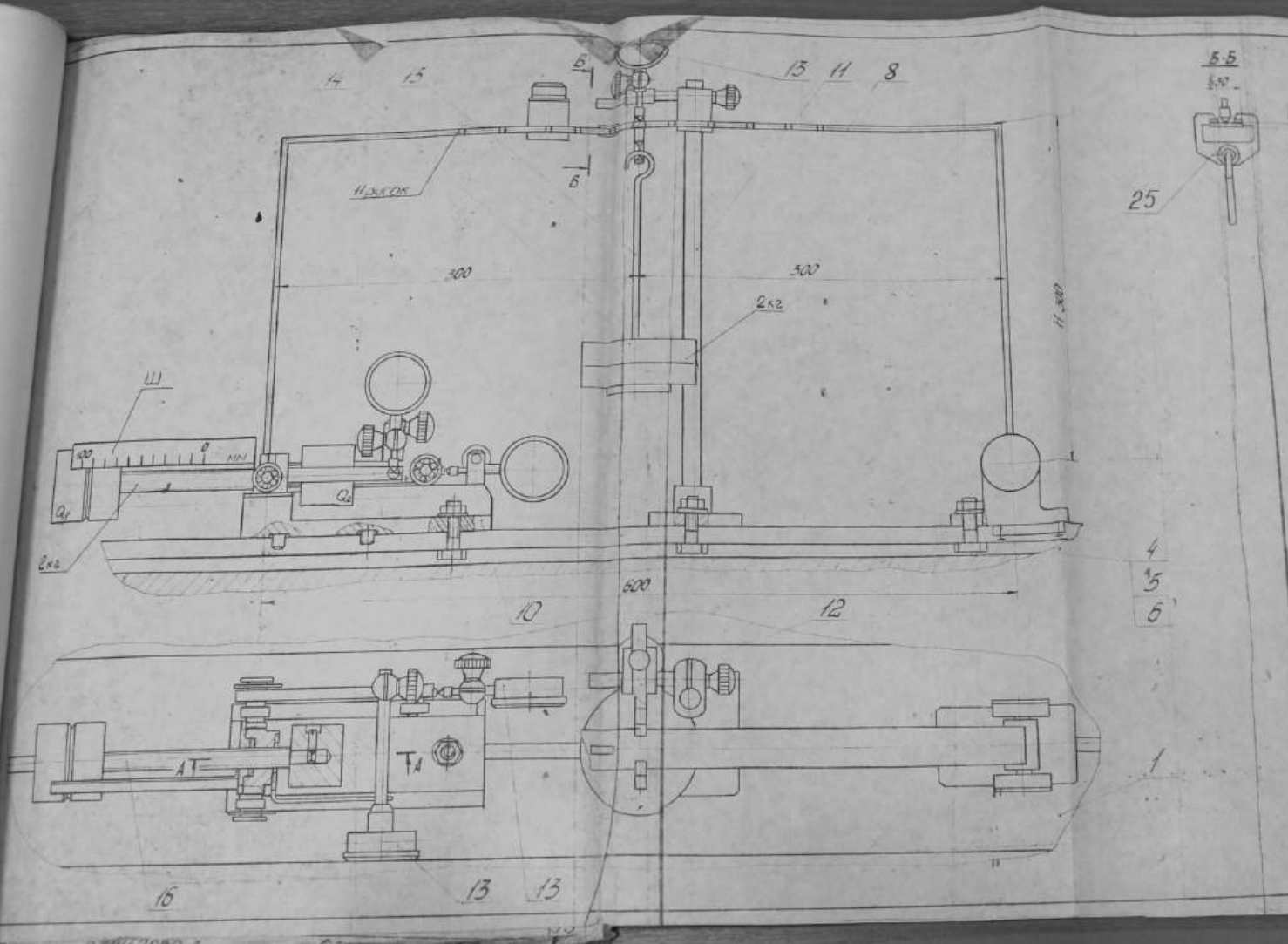
140
1306
11
10
9
8
7
6
5
4
3
2
1

СМУ 000 000 170
Формат А6+5

140
50







Нападка №2, Рабочая №5

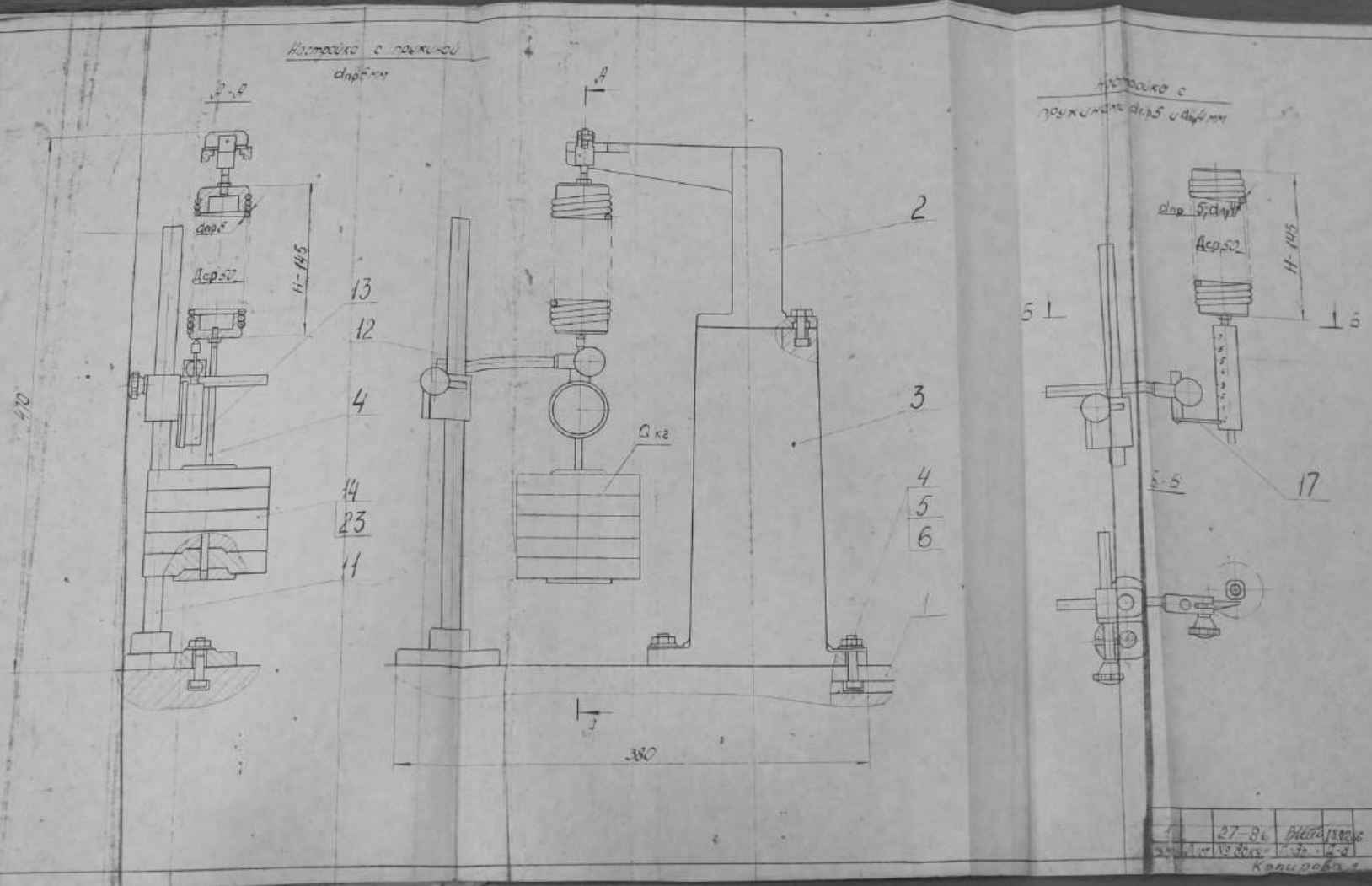
Рис. 9

1	Н18-82	2	Л18-1038
3	Л18-1038	4	Л18-1038
5	Л18-1038	6	Л18-1038

СМУ.000.000.170

Конф. №166 А4x3

Рис. 54

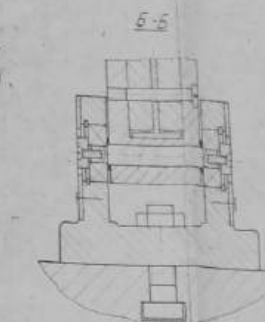
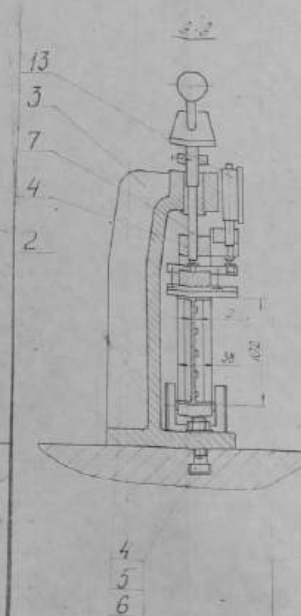
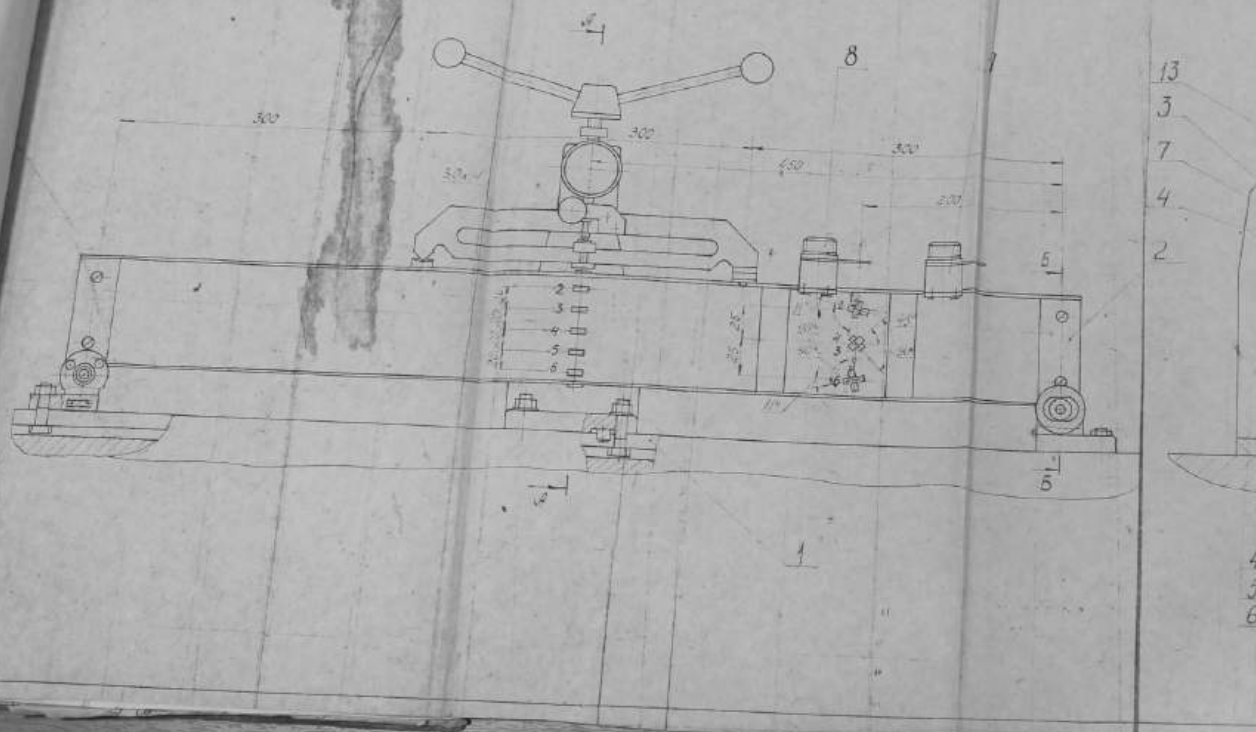


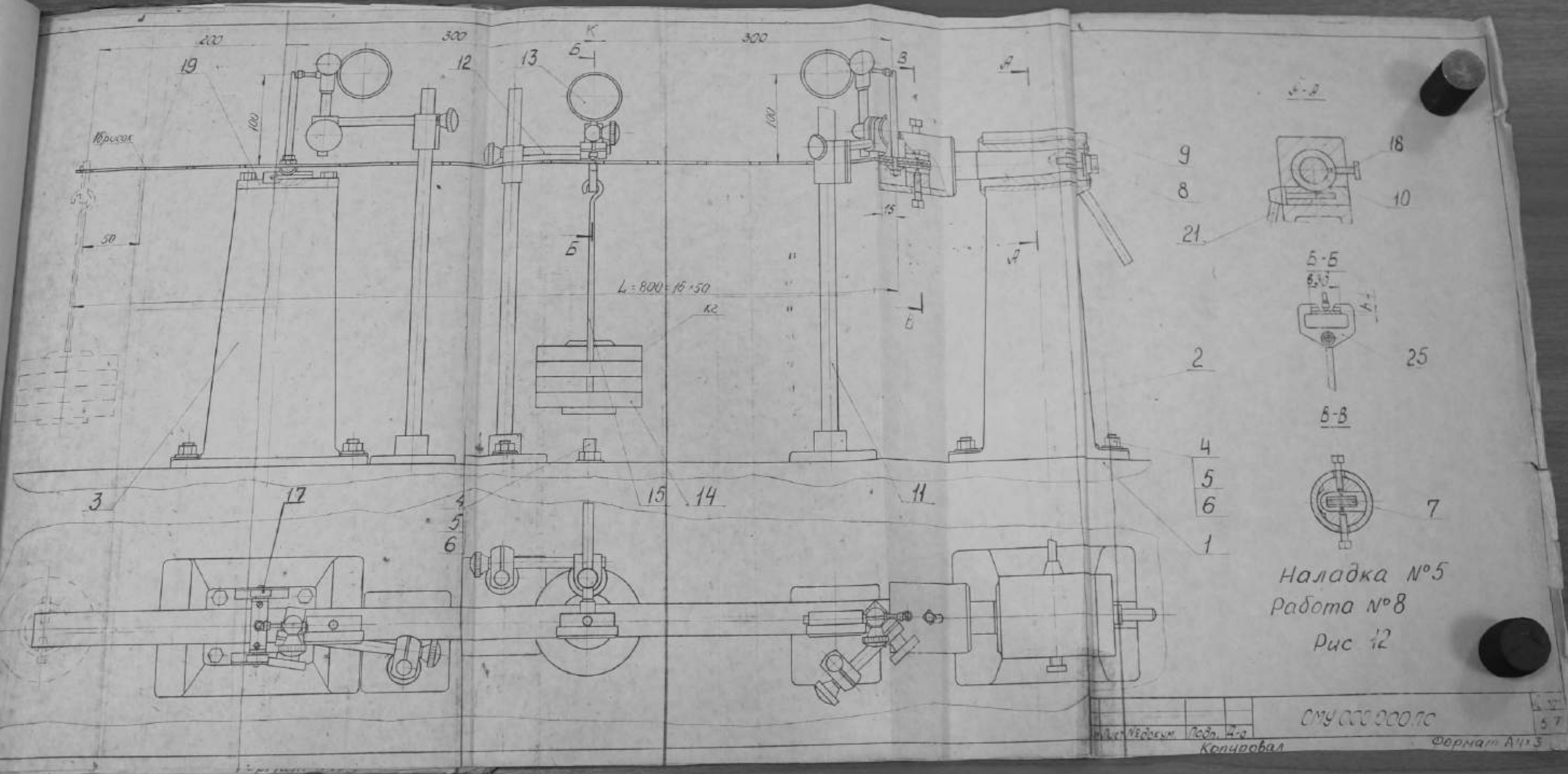
Наладка №3
Работа №6

- Pac. 10

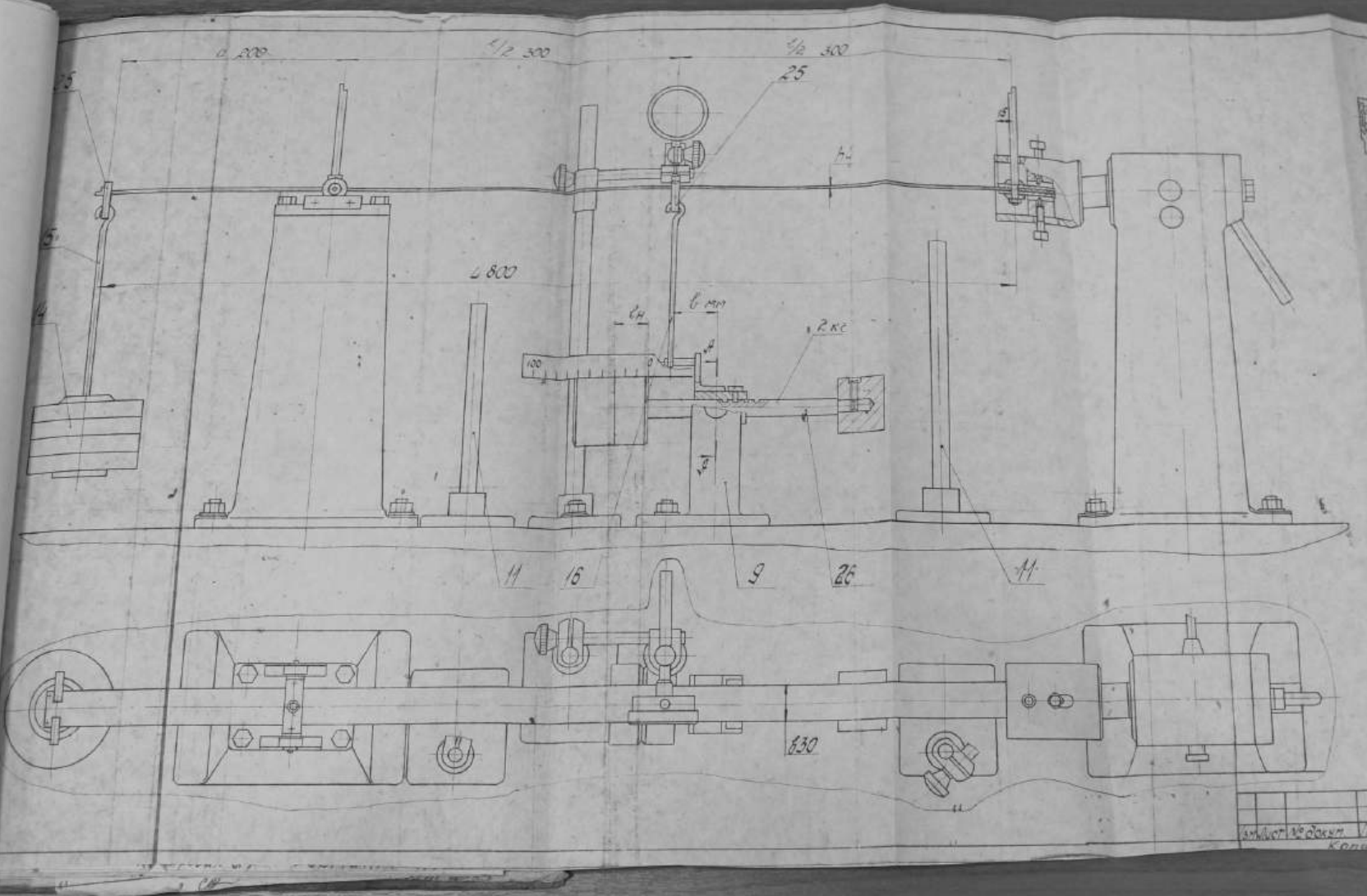
Puc. 10

Puc. 10





Наладка №5
работа №8
рис 12

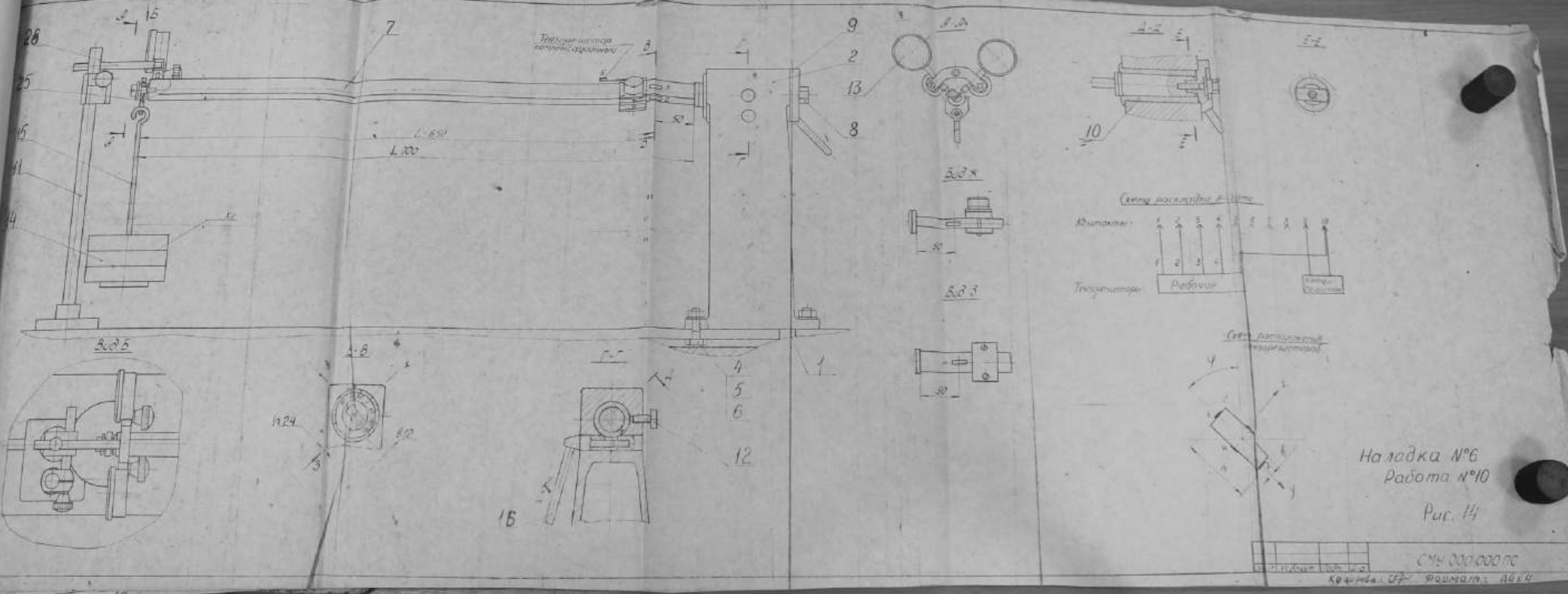


Нанодка №5
Радома №9

PUC 13

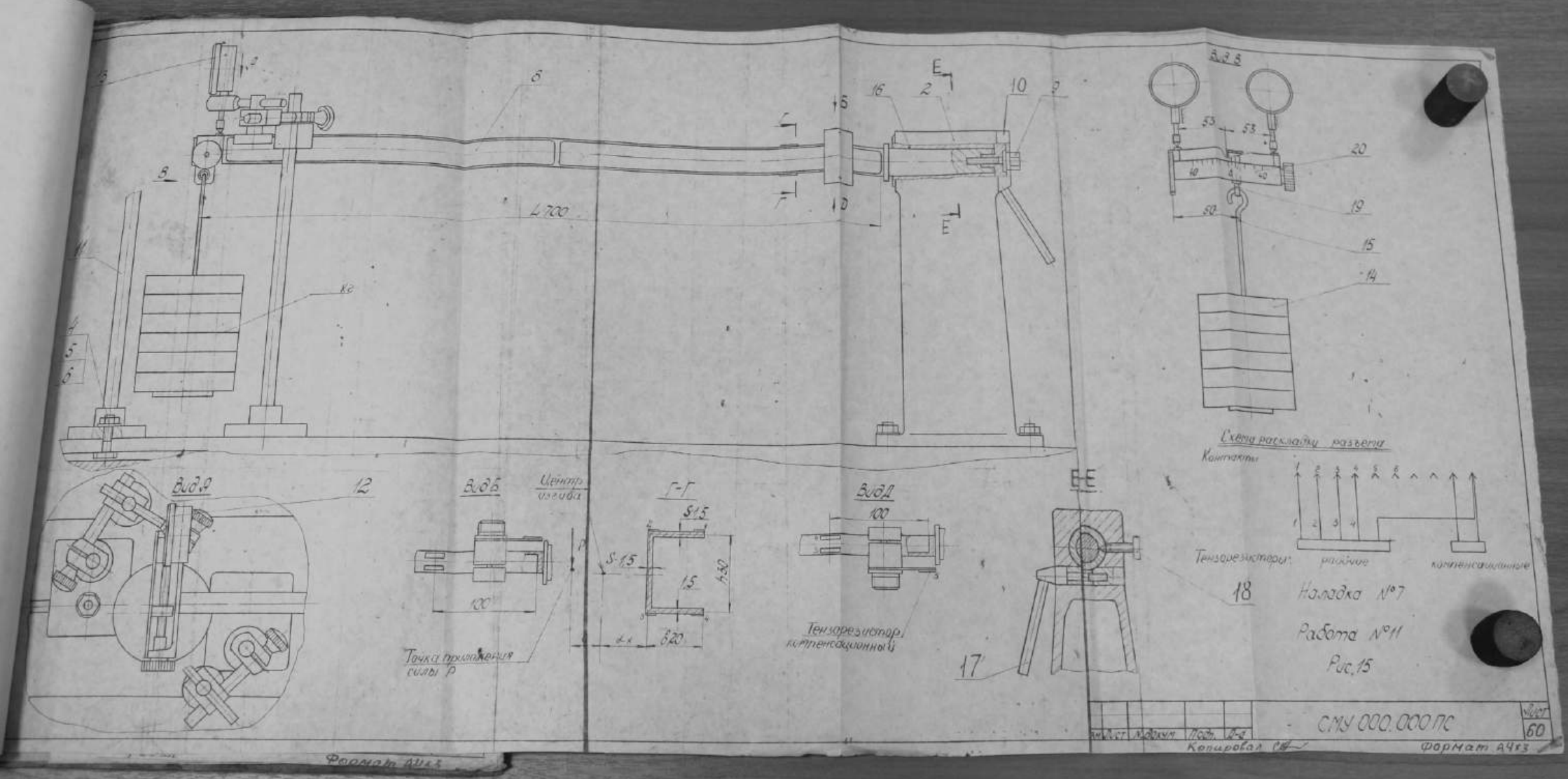
СМУ 000,000 лс

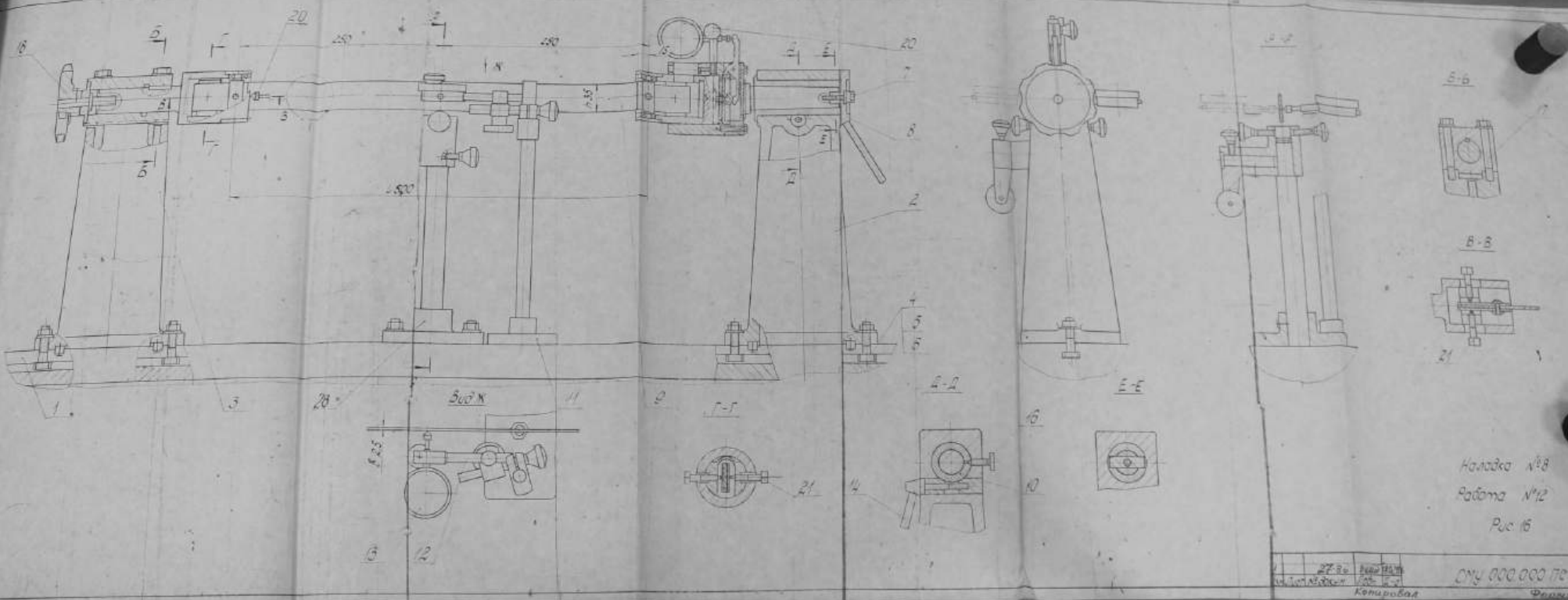
58



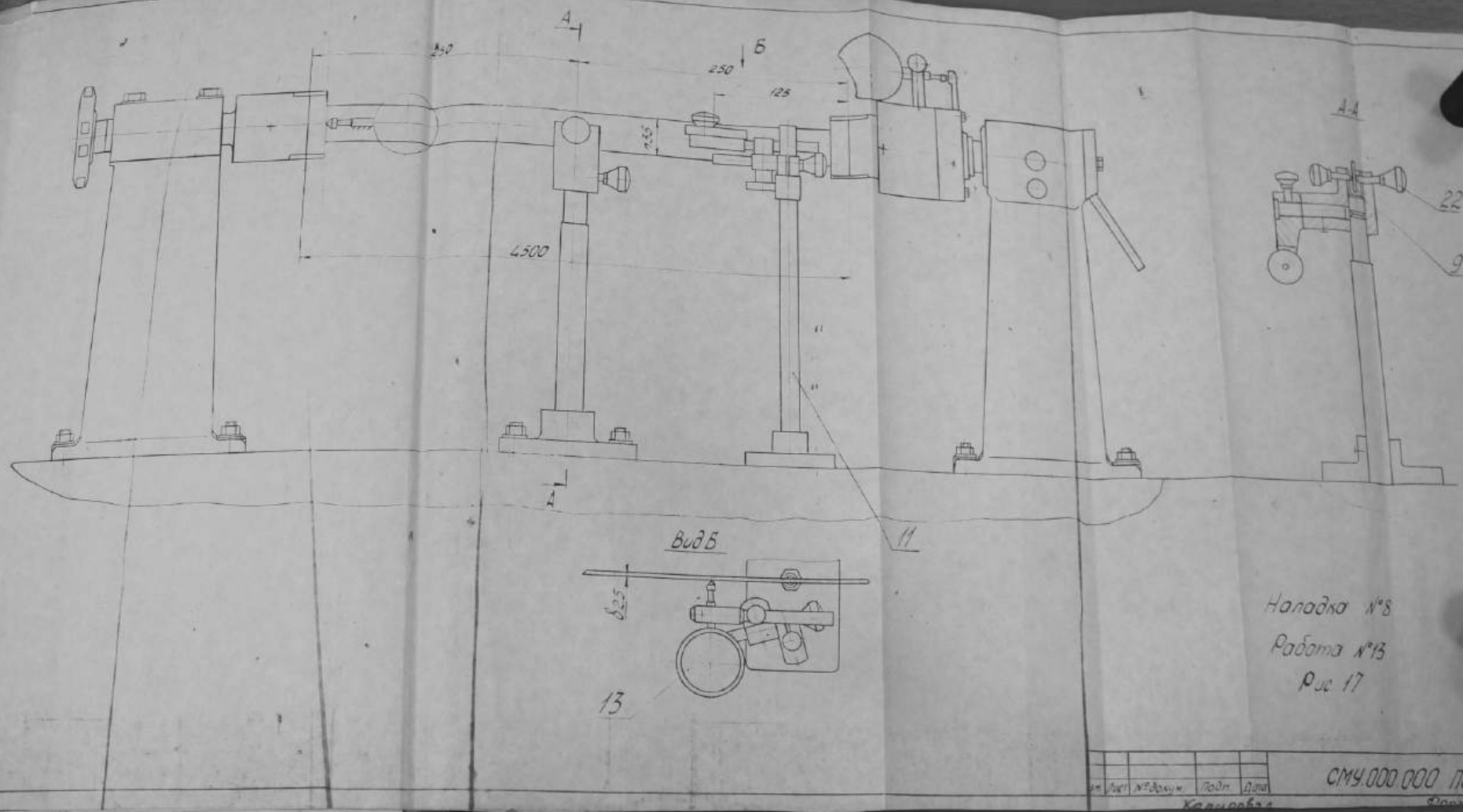
Наладка №6
Работа №10

Page 14





Назадко № 8
Радома № 12
Рис 16

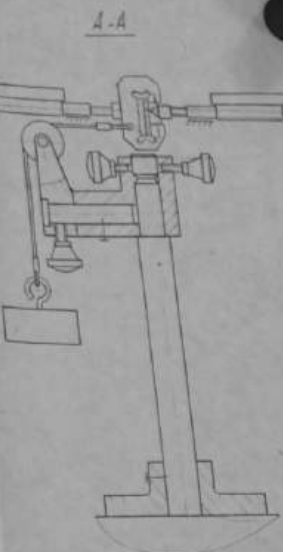
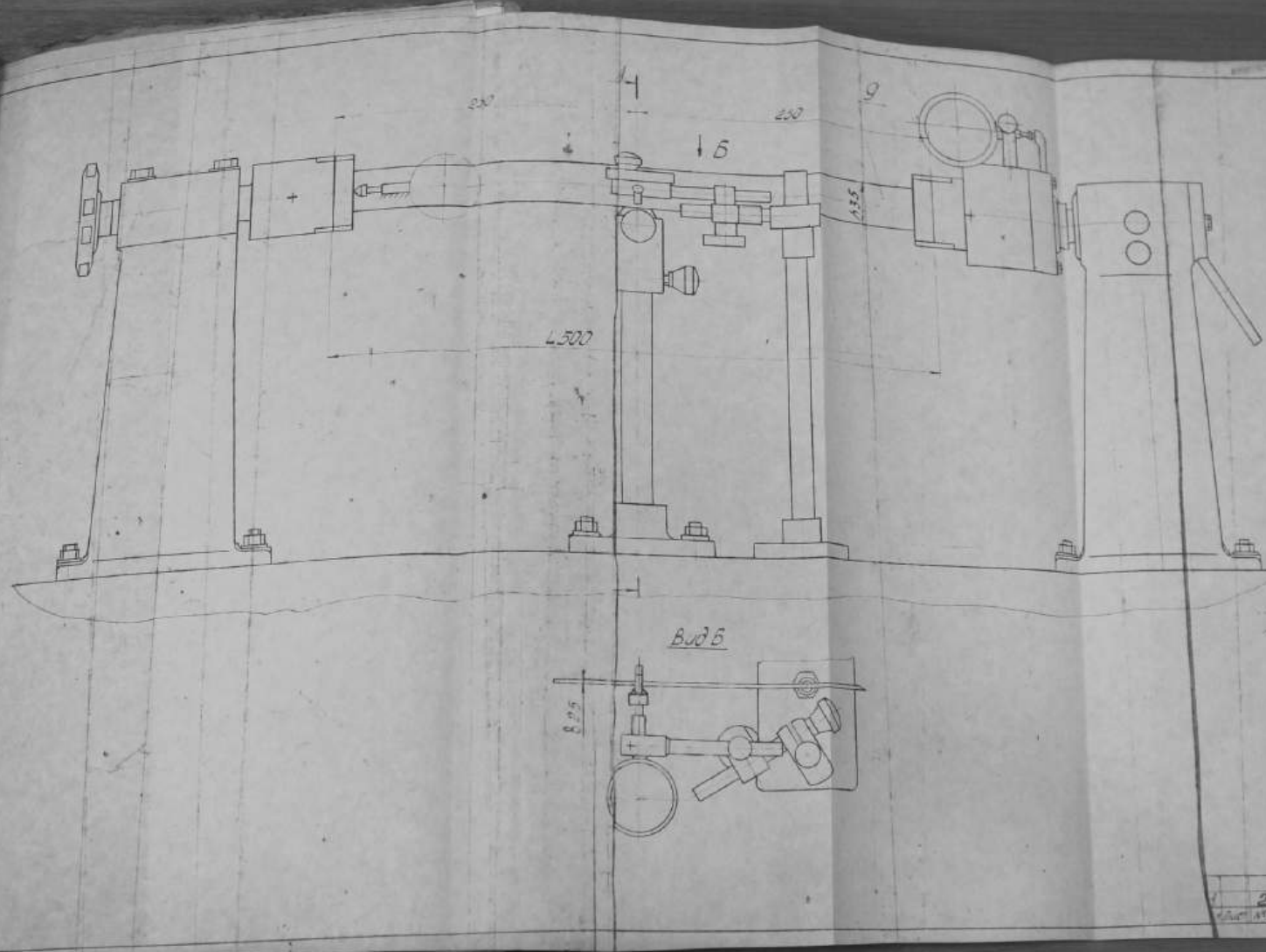


Наладка №8
Работа №13
Рис. 17

им. Чистякова Родионова
Калининской
области

СМЧ.000.000.10

Лист 62



Накладка №8
Рабочто . №14
 ρ_{ue} 18

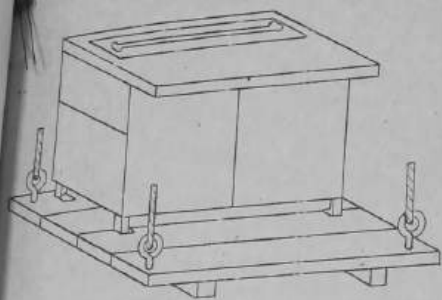
27-86 белор.р.
документа подп. 25/10
Комиссия

СМУ.000.000.ПС

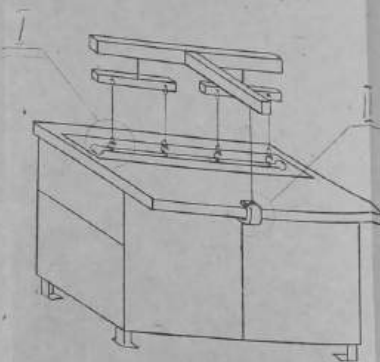
63

Формат А4

Вариант 1



Вариант 2



ПРИЛОЖЕНИЕ 2



Схема транспортировки стенда

43-86	869	447	1	1000
43-86	869	447	1	55

СОДЕРЖАНИЕ

1. НАЗНАЧЕНИЕ И ОБЛАСТЬ ПРИМЕНЕНИЯ	2
2. ТЕХНИЧЕСКАЯ ХАРАКТЕРИСТИКА	3
3. СОСТАВ УСТАНОВКИ И КОМПЛЕКТ ПОСТАВКИ	6
4. УСТРОЙСТВО И ПОРЯДОК ПОДГОТОВКИ СТЕНДА К РАБОТЕ	9
4.1. Конструкция стендов	9
4.2. Наладка №1	10
4.3. Наладка №2	11
4.4. Наладка №3	12
4.5. Наладка №4	12
4.6. Наладка №5	13
4.7. Наладка №6	14
4.8. Наладка №7	14
4.9. Наладка №8	15
5. УКАЗАНИЕ МЕР БЕЗОПАСНОСТИ	16
6. ПОДГОТОВКА СТЕНДА К РАБОТЕ	17
7. ПОРЯДОК ПРОВЕДЕНИЯ ЛАБОРАТОРНЫХ РАБОТ	18
7.1. Терировочные данные тензометрической системы	18
7.2. Примерная методика проведения лабораторных работ	19
8. ТЕХНИЧЕСКОЕ ОБСЛУЖИВАНИЕ	40
9. СВИДЕТЕЛЬСТВО О ПРИЕМКЕ	41
10. ХАРАКТЕРНЫЕ НЕИСПРАВНОСТИ И МЕТОДЫ ИХ УСТРАНЕНИЯ	42
11. ГАРАНТИЙНЫЕ ОБЯЗАТЕЛЬСТВА	43
12. СВЕДЕНИЯ О ГЕНЕРАЦИЯХ	43
13. СВИДЕТЕЛЬСТВО О КОНСЕРВАЦИИ	44
14. СВИДЕТЕЛЬСТВО ОБ УПАКОВКЕ	45
15. РИСУНКИ	46-63
ПРИЛОЖЕНИЕ I : Сведения о содержании драгоценных металлов	64
ПРИЛОЖЕНИЕ II: Сведения о содержании цветных металлов	65

127-86
№ документа
Печать

СЧ 7 000,000 р.

Лист
66